

МИНИСТЕРСТВО ГЕОЛОГИИ СССР  
МИНИСТЕРСТВО ГЕОЛОГИИ РСФСР  
КАМЧАТСКОЕ ПРОИЗВОДСТВЕННОЕ ГЕОЛОГИЧЕСКОЕ ОБЪЕДИНЕНИЕ

Уч. № 066

ГОСУДАРСТВЕННАЯ  
ГЕОЛОГИЧЕСКАЯ  
КАРТА СССР

МАСШТАБА 1:200 000

ЗАПАДНО-КАМЧАТСКАЯ СЕРИЯ

Лист 0-57-XXI (Тигиль)

Объяснительная записка

Составители: П. А. Коваль, Ю. М. Спевак  
Редактор Н. Ф. Данилеско

Утверждено Научно-редакционным советом Мингео СССР при ВСЕГЕИ  
7 декабря 1978 г., протокол № 24



## О Г Л А В Л Е Н И Е

	Стр.
Введение . . . . .	5
Геологическая изученность . . . . .	7
Стратиграфия . . . . .	10
Интузивные образования . . . . .	37
Тектоника . . . . .	51
Геоморфология . . . . .	62
Полезные ископаемые . . . . .	67
Подземные воды . . . . .	76
Оценка перспектив района . . . . .	79
Литература . . . . .	81
Приложения . . . . .	86

## ВВЕДЕНИЕ

Территория листа О-57-XXI расположена на западном побережье Камчатского полуострова и административно относится к Тигильскому району Корякского национального округа Камчатской области РСФСР. Она ограничена координатами:  $57^{\circ}20'$ - $58^{\circ}00'$  с.ш. и  $158^{\circ}00'$ - $159^{\circ}00'$  в.д.

Незначительная ( $7,5 \text{ km}^2$ ) площадь в северо-западной части района принадлежит акватории Охотского моря. Вдоль моря тянется береговой обрыв высотой 30-60 м и узкий (20-50 м) пляж. От морского побережья к востоку простирается обширная холмисто-увалистая равнина, переходящая за пределами изученной площади в предгорья Срединного хребта. В этом же направлении возрастают абсолютные высоты от 30-100 до 300-350 м. Поверхность равнины изрезана густой сетью рек и ручьев, между которыми располагаются пологие холмы, увалы и отдельные гряды, вытянутые, в основном, в северо-восточном направлении. В центральной и южной частях территории на общем фоне холмисто-увалистой равнины обособляются отдельные возвышенности, абсолютные высоты которых достигают 450 м (г. Седло - 450 м, г. Песельская - 347 м, г. Байдара - 309 м, Круглая - 351 м, г. Тельвэево - 224 м).

Самой крупной водной артерией района является р. Тигиль, пересекающая площадь в северо-западном направлении. Ширина русла колеблется от 50 до 1000 м, глубина от 1,5 до 4 м. Скорость течения составляет 1,9-1,8 м/с. Второй по величине рекой является Налана - левый приток р. Тигиль. Течение реки умеренное и составляет в среднем 1,2 м/с. Ширина русла колеблется от 20 до 150 м, глубина - от 0,5 до 3 м. Реки Рассосина (правый приток р. Наланы) и Аманина близки по мощности и характеру водотоков. Ширина их русел составляет 10-20 м, скорость течения - 1,9-1,2 м/с. Часто встречаются мелкие (0,3-0,5 м) перекаты, более мелкие

реки (Кульки, Черная, Зех, Ланоч, Кипина, Дальняя, Лев. Пирожниковая и др.) имеют неширокие (до 15 м) русла, скорость их течения колеблется в пределах 1,5-0,8 м/с. В долинах крупных рек и на выровненных участках располагаются многочисленные озера глубиной 1-2 м.

Значительная площадь района занята березовыми лесами и массивами кедрового стланика. Подлесок в березовых лесах состоит из рябины, боярышника, бузины, черемухи, кедрового и ольхового стлаников, химсности. В поймах рек произрастают тополь, ветла, ольха. На тундровых участках растительность представлена икмами и ягодниками голубики, жимолости, брусники, морошки, шишки. Из диких животных обитают бурые медведи, олени, волки, росомахи, лисицы, соболи, зайцы, ондатры, выдры, тарбаганы. Представителями пернатых являются глухари, куропатки, утки различных пород, гуси, лебеди, гагары, чайки, кулики, совы, орлы, кукушки, вороньи, сороки, кедровки. Постоянными обитателями рек являются равнинная форель (микижа) и голец. На нерест заходят лососевые: чавыча, сима, нерка, кета, горбуша, кижуч.

Климат района морской, холодный. По данным Тигильской метеостанции среднегодовая температура воздуха колеблется от -1°C до -5°C. Самые низкие абсолютные температуры, достигающие 40-45°C ниже нуля, отмечаются в январе и феврале, максимальные (30°) - в июле, первые заморозки - в августе, последние - в июне. Глубина промерзания почвы в зимний период достигает 100-125 см. Продолжительность безморозного периода колеблется в пределах 39-93 дня. В среднем за год выпадает около 500-530 мм осадков. Средняя годовая скорость ветра различных румбов составляет 2,1 м/с.

На левом берегу р. Тигиль расположен районный центр с. Тигиль. Возле села имеется аэродром, принимающий самолеты типа АН-2 и ЯК-40. Второй населенный пункт, с. Седанка Кочевая, расположен на левом берегу р. Напана. Население занимается сельским хозяйством, рыбным промыслом, оленеводством и охотой. В настоящее время в с. Тигиль располагается база геофизической партии ВГТ и база Хромовского бурового участка КТГУ, выполняющая структурное и глубокое параметрическое бурение на нефтегазоперспективных структурах. Основные грузы из областного центра в район доставляются морским путем. Рейдовая разгрузка производится на баржи, которые катерами доставляются до перевалочной базы "Яры". До районного центра грузы перевозятся речными самоходными баржами и автомашинами по единственной грунтовой с гравийным покры-

тием дороге, связывающей перевалочную базу с с. Тигиль. Перевозки грузов в пределах площади осуществляются гусеничным транспортом и лошадьми.

Район в целом характеризуется плохой обнаженностью. Коренные выходы пород встречаются лишь по долинам водотоков. На обширных междуречных пространствах обнажения отсутствуют. Картирование таких участков проводилось с применением горных выработок.

Дешифрируемость аэрофотоснимков плохая. Отчетливо дешифрируются лишь контуры субвулканических тел, протяженные дайки, отдельные тектонические нарушения и поля развития четвертичных отложений.

Все эти факторы обуславливают в некоторых случаях сравнительно схематизированную рисовку геологических границ.

## ГЕОЛОГИЧЕСКАЯ ИЗУЧЕННОСТЬ

Краткие сведения о геологии района содержатся в работах А. Эрмана, К. И. Дитмарса, К. И. Богдановича, которые провели маршруты по р. Тигиль в конце XIX в.

В 1929 г. А. И. Трошин при маршрутных исследованиях описал выходы каменных углей в районе, послужившие в дальнейшем основанием для проведения поисковых работ /48/. В результате маршрутных исследований 1931-1932 гг. Б. Ф. Дьяков /19/ составил первую стратиграфическую схему и пришел к выводу о нефтегазоперспективности меловых, палеогеновых и неогеновых отложений Тигильского района. Поисковые работы на уголь в среднем течении р. Напана проводят в 1934 г. П. Г. Туганов /49/. Общие геологические запасы каменных углей им определялись в 10 млн. т.

В 1947 г. Б. Ф. Дьяков на основании многолетних работ разработал унифицированную стратиграфическую схему для территории Западной Камчатки, которая явилась основой для всех последующих работ /2/. Кайнозойские образования им разделены на тигильскую (палеоцен-нижний олигоцен), ковачинскую (верхний олигоцен), ваямпольскую (нижний, средний миоцен), кавранскую (верхний миоцен-плиоцен) и эрмановскую (верхний плиоцен-плейстоцен) толщи.

В 1950 г. Г. М. Власов провел ревизионно-поисковые работы на уголь /12/. По его рекомендации в 1951 г. были начаты поисково-разведочные работы на Тигильском угольном месторождении.

В 1951-1954 гг. в центральной и северной частях района проводят геологическую съемку масштаба 1:200 000 К. М. Севостьянов /43, 44/ и Е. П. Кленов /25/. На основании этих работ и обобщения всех имеющихся к тому времени геологических материалов К. М. Се-

востыянов составил геологическую карту масштаба I:200 000 центральной части Тигильского нефтегазоперспективного района /44/. Мезозойские образования он разделяет на омгонскую и ирунейскую, а кайнозойские - на тигильскую, ковачинскую, ваямпольскую и кавранскую толщи.

В 1954 г. П.С.Евсюков завершил начатые в 1951 г. поисково-разведочные работы на Тигильском месторождении каменных углей /20/. Балансовые запасы по кат. В+С<sub>1</sub>, подсчитанные по четырем рабочим пластам, составляют 5804,9 тыс.т, а общие геологические запасы определены в 196454 тыс.т.

Небольшая площадь в бассейне р.Гаванки охвачена геологической съемкой масштаба I:50 000, которую в 1955 г. провел К.М.Севостьянов с целью изучения геологического строения Гаванской и Хромовской нефтегазоперспективных структур /45/.

В 1954-1957 гг. А.В.Гольдман /14/ и А.А.Воцинский /13/ провели в Тигильском районе гравимагнитную съемку масштаба I:100 000. Этими работами охвачена лишь северо-западная часть территории листа.

В 1957 г. В.В.Маховым при проведении поисковых работ в междуречье Тигиль - Напана установлено незначительное (0,004%) содержание ртути в двух пробах /29/.

В 1957 г. Б.В.Стырикович /47/ провел на площади листа геолого-гидрогеологическую съемку масштаба I:1 000 000 /47/. В отличие от Б.Ф.Дьякова, он считает, что ваямпольские образования несогласно залегают на ковачинских.

По данным аэромагнитной съемки, проведенной в 1959 г., площадь характеризуется, в основном, спокойным слабоотрицательным магнитным полем /42/. Установленные положительные аномалии соответствуют местам развития магматических пород.

Многолетние тематические исследования на Камчатке проводили сотрудники ВНИГРИ. На территории листа по р.Напане Н.М.Маркин и Л.В.Криштофович изучали разрез тигильской серии, в которой выделили три свиты: хулгунскую, напанскую и снатольскую /28/. Л.В.Демидович и Ю.Н.Григоренко в этой серии установили наличие пород-коллекторов смешанного типа, обладающих высокой емкостью и удовлетворительной проницаемостью /18/.

В 1960 г. в бассейнах рек Напаны и Рассоины Н.Т.Демидов проводил геологопоисковые работы, в результате которых было выявлено рудопроявление ртути /17/.

В 1961 г. В.П.Вдовенко и Г.Л.Адамчук подготовили к изданию Государственную геологическую карту масштаба I:1 000 000, листа 0-57, которая была издана в 1964 г./II/.

В 1962 г. В.П.Вдовенко провел геологическую съемку масштаба I:200 000 в юго-западной части листа 0-57-XXI /10/.

В 1962 г. А.И.Байков проводил опробование углей Тигильского месторождения на германий и скандий /3/. Содержание германия в углях, по данным спектрального анализа, не превышает 0,01%, скандий не обнаружен.

На соседней к западу территории в 1962-1963 гг. Г.П.Сингаевским проведена геологическая съемка масштаба I:200 000, а в 1971 г. издана Государственная геологическая карта листов 0-57-XX,XIX /46/.

В 1964-1965 гг. юго-восточная часть территории листа 0-57-XXI была покрыта гравиметрической съемкой масштаба I:200 000 /7,8/. Гравиметрические данные хорошо согласуются с результатами геологических съемок.

В 1970 г. геофизическая карта ВГТ начала проводить региональные и детальные электроразведочные и сейсморазведочные работы в Тигильском районе. На площади листа электроразведочные работы методом ТТ, ВЭЗ и МТЗ проведены в 1970-1971 гг. /33,34,35/. Данные электроразведки, в целом, согласуются с результатами гравиметрической съемки, так как опорным электрическим горизонтом и плотностной границей раздела является, вероятно, кровля верхнемеловых образований. Сейсморазведочные и детальные электроразведочные работы проведены лишь в северной части территории листа, где ими изучено глубинное строение Гаванской антиклинали, а также Кулькинской и Кипинской синклиналей /9,21,22,23/.

В 1973-1975 гг. в районе с.Тигиль велись поисково-разведочные работы на строительные материалы. Е.А.Мурахтов /37/ развел строительные пески и песчанс-гравийную смесь, В.В.Радченко - строительные камни (диабазы), гравий, песок и опоковидные породы /40,41/.

В 1975-1976 гг. на площади листа 0-57-XXI проведены геологическая съемка масштаба I:200 000 в юго-восточной части, геологическое доизучение, охватившее центральную и северо-восточную части площади листа, и стратиграфические работы. В камеральный период 1976-1977 гг. составлен сводный отчет, в котором обобщены геологические и геофизические материалы по всей территории листа. В полевых и камеральных работах, кроме авторов, принимали участие Аборин П.Т., Сидоров М.Д., Зуева И.М., Лобанова Н.А. Лабораторные работы выполнены следующими сотрудниками ЦГИ КГГУ: химические анализы - А.И.Ильиных, М.И.Ященко, Л.Я.Сустигаловой, Р.Д.Мельниковой, Л.И.Скрипник, спектральные анализы - Р.Б.Фроловой, И.В.Вагиной, П.А.Попенко, микрофаунистические исследова-

ния - Н.М.Петриной, Л.А.Данилеско, В.П.Агеевой, палинологические исследования - З.Н.Лукьяновой, В.П.Соломоновской, И.А.Цепаевой, радиометрические и люминисцентно-битуминологические анализы - М.В.Дочкиной, пробирные анализы - Н.И.Стадеевой. В Геологосъемочной экспедиции КТГУ произведены: контрольный и полный минералогические анализы - Н.И.Винокур, А.Г.Калганниковой, палеонтологические исследования - В.М.Гладиковой, Г.П.Борзуновой, Л.И.Коновой, Л.К.Пелехатой, палеоботанические исследования Г.Б.Чигаевой.

Составленная геологическая карта листа 0-57-XXI имеет следующие неувязки с изданными геологическими картами листов 0-57-XX,XIX /46/, 0-57-ХХУП /31/ и 0-57-ХХУ /32/. В бассейне р.Напаны на этих листах туфопесчаники гакхинской свиты ошибочно были приняты за отложения утхолокской свиты. В связи с этим не подтвердилось в этом районе выделение утхолокской и вивентекской свит. В междуречье Напань - Рассошины на территории листа 0-57-ХХУП неточно проведена северная граница распространения отложений ирунейской свиты. На территории листа 0-57-XXI в этом районе образований ирунейской свиты не установлено. В бассейне р.Тигиль основная неувязка связана с тем, что на листе 0-57-ХХУП отложения эрмановской свиты включены в этолонскую.

Кроме того, имеет место некоторое различие в возрасте, рисовке контуров и составе нескольких мелких субвулканических тел на границе листов 0-57-XXI и 0-57-ХХУП. Это объясняется сравнительно небольшими их размерами. На листе 0-57-XXI установлен их субщелочной состав, а возраст определяется в пределах плиоцена. Щелочные и субщелочные магматические образования этого возраста имеют значительное распространение как на территории листа 0-57-XXI, так и на смежных площадях /15,32/.

## СТРАТИГРАФИЯ

Стратифицирующиеся образования территории листа 0-57-XXI представлены разнообразным комплексом терригенных и вулканогенно-кремнистых пород мелового, палеогенового и неогенового возраста.

### МЕЛОВАЯ СИСТЕМА

#### Верхний отдел

Отложения верхнемелового возраста представлены терригенными отложениями майначской свиты омгонской серии и вулканогенно-кремнистыми образованиями ирунейской свиты.

#### Омгонская серия

Майначская свита ( $K_2 m$ ). Отложения свиты установлены на двух изолированных участках в центральной части района и представлены аргиллитами, алевролитами и песчаниками. Последние преобладают в нижней части разреза, а глинистые породы - в верхней.

Разрез, характеризующий строение нижней части майначской свиты, описан в верховье руч.Обрывистого, где снизу вверх залегают:

1. Песчаники полимиктовые, темно-серые, крепкие, массивные, с маломощными (0,1-0,3 м) прослоями аргиллитов черных . . . . .	200 м
2. Песчаники полимиктовые, темно-серые, средне- и мелкозернистые, слоистые . . . . .	50 "
3. Песчаники полимиктовые, темно-серые, среднезернистые, массивные . . . . .	150 "
Общая мощность разреза 400 м.	
Верхняя часть разреза майначской свиты изучена по р.Рассошине, где наблюдаются (снизу вверх):	
1. Аргиллиты черные, тонкоплитчатые, с редкими маломощными (до 10 см) прослоями песчаников темно-серых, мелкозернистых . . . . .	35 "
2. Аргиллиты черные, тонкоплитчатые, с редкими маломощными (10-15 см) прослоями алевролитов темно-серых . . . . .	34 "
3. Аргиллиты черные с двумя линзовидными прослоями (до 1,5 м) песчаников зеленовато-серых, мелкозернистых . . . . .	60 "
4. Чередующиеся аргиллиты (0,8-1,0 м) и песчаники (0,1-0,2 м) . . . . .	38 "
5. Аргиллиты черные, тонкоплитчатые, с редкими маломощными (до 0,2 м) прослоями песчаников темно-серых, мелкозернистых . . . . .	44 "
Мощность разреза 211 м.	

Ниже приводится микроскопическое описание пород.

В песчаниках устанавливается алевропсаммитовая, псаммитовая и псевофиллита- псаммитовая структуры. Обломки, составляющие 70-80% объема породы, представлены измененными эфузивами среднего и основного состава, осадочными породами, плагиоклазом и кварцем. Цемент глинисто-карбонатный, глинисто-слюдистый.

Алевролиты отличаются от песчаников размером и количеством обломков. В них устанавливается примерно равное соотношение кластической части алевритовой разнородности и цемента. Цемент глинистый, глинисто-слюдистый.

Аргиллиты состоят из тонкочешуйчатого агрегата глинистых минералов, в который погружены алевритовые обломки (до 10%) кварца и плагиоклаза.

По р.Рассошине в отложениях майначской свиты обнаружены единичные обломки призматического слоя *Inosigalites sp. indet.* плохой сохранности, которые, по заключению В.М.Гладиковой, принадлежат радиально-ребристым формам, характерным для отложений сенонского возраста Камчатки. Кроме того, в отложениях свиты обнаружены следующие фораминиферы: *Dendrophryna maxima* Friedberg, *Bathysiphon of.alexanderi* Cushman, *Bogdanovicziella cf.complanata* Franke и др. По заключению Н.М.Петриной, этот комплекс фораминифер характерен для отложений сенона.

На соседней к западу территории в районе м.Омгон из отложений майначской свиты собран богатый комплекс фауны и флоры, который указывает на верхнетурон-сантонский возраст<sup>x/</sup> вмещающих пород /46/.

Мощность отложений майначской свиты составляет 650 м.

Ирунейская свита ( $K_2 \text{ ss}$ ). Образования свиты развиты на нескольких изолированных участках в центральной и южной частях территории. Наиболее распространены они в бассейне р.Рассошины, в районе ур.Сопки Тыльель и в верховьях р.Рассошины (Латаевой). Относительно небольшие по площади выходы пород свиты установлены в бассейнах рек Изменной, Щековской, Ванеквяям и ур.Конюмкин.

Свита представлена кремнистыми сланцами, литокристаллокластическими туфами и яшмами. Подчиненное значение имеют песчаники и аргиллиты, маломощные прослои которых присутствуют лишь в нижней части разреза, на границе с отложениями майначской свиты.

Взаимоотношения вулканогенно-кремнистых образований ирунейской свиты с подстилающими отложениями наблюдались по р.Рассошине и ее притокам (ручьям Глубокому и Обрывистому). Здесь установлено согласное с постепенным переходом залегание пород ирунейской свиты на терригенных образованиях майначской свиты /26/.

<sup>x/</sup> Возраст стратифицирующихся образований приводится с учетом решений Межведомственного стратиграфического совещания, состоявшегося в г.Петропавловске-Камчатском в 1974 г.

Зона перехода представлена переслаивающимися песчаниками, аргиллитами, кремнистыми сланцами, туфами и яшмами. Разрез, характеризующий ее строение, описан по руч.Глубокому, где залегают (снизу вверх):

#### Майначская свита

- |   |       |
|---|-------|
| 1. Аргиллиты черные, тонкоплитчатые . . . . .                     | 0,8 м |
| 2. Песчаники полимиктовые, темно-серые, грубо-плитчатые . . . . . | 8 "   |

#### Ирунейская свита

- |  |       |
|--|-------|
| 3. Кремнистые сланцы темно-серые . . . . .   | 4 "   |
| 4. Туфы зеленовато-серые, тонкоплитчатые . . . . .   | 3,2 " |
| 5. Яшмы кирпично-красные, трещиноватые, с фрагментами призматических слоев иноцерамов . . . . .              | 1,2 " |
| 6. Аргиллиты черные, тонкоплитчатые . . . . .  | 1,6 " |
| 7. Чередующиеся кремнистые сланцы (0,6-0,8 м) зеленовато-серые и песчаники (0,2-0,4 м) темно-серые . . . . . | 5,4 м |

Общая мощность разреза 24,2 м.

Послойный стратиграфический разрез, который характеризовал бы строение ирунейской свиты в целом, из-за плохой обнаженности не составлен. При изучении разобщенных коренных выходов установлено, что выше переходного горизонта свита представлена переслаивающимися кремнистыми сланцами, туфами и яшмами. Мощность отдельных слоев колеблется от первых десятков сантиметров до 2-3 м и более. Границы между отдельными разновидностями пород ровные, четкие, реже с постепенными переходами, расплывчатые.

Петрографические особенности основных разновидностей пород, слагающих ирунейскую свиту, сводятся к следующему.

В кремнистых сланцах устанавливается криптокристаллическая структура. Составляют они из кварца, незначительного количества хлорита и серицита.

Туфы основного состава имеют алевропсаммитовую, псаммитовую и псевдопсаммитовую структуры. Выделяются витрокристаллокластические и литокристаллокластические их разности.

Яшмы состоят из криптокристаллического агрегата кварца, халцедона и хлорита. Часто наблюдаются реликты радиолярий.

В отложениях ирунейской свиты найдены многочисленные фрагменты призматических слоев плохой сохранности, которые, по

заключению В.М.Гладиковой, являются остатками радиально-ребристых иноцерамов (*Inoceramus* sp. *indet.*).

По своему литологическому составу и стратиграфическому положению отложения ирунайской свиты описываемого района аналогичны вулканогенно-кремнистым образованиям, развитым на соседних к западу и юго-западу площадях, возраст которых на основании фауны определен условно в пределах кампана /32,46/.

Мощность отложений ирунайской свиты на площади листа составляет 300 м.

### ПАЛЕОГЕНОВАЯ СИСТЕМА

Отложения палеогеновой системы занимают значительную часть площади и подразделяются на две серии - тигильскую и ковачинскую.

#### П а л е о ц е н

##### Тигильская серия

Осадочные образования тигильской серии представлены тремя свитами: хулгунской, напанской и снатольской.

**Х у л г у н с к а я с в и т а** ( $F_1 \text{ kl}$ ). Отложения свиты развиты в междуречье Напаны - Рассошины, а также в верховьях рек Половинки, Подземной и Хазаланки. Они трансгрессивно с угловым несогласием залегают на образованиях верхнего мела и представлены конгломератами, гравелитами, песчаниками. Подчиненное значение в разрезе имеют аргиллиты, алевролиты и линзовидные маломощные прослои каменных углей.

Сводный разрез отложений хулгунской свиты в бассейне р.Половинки, составленный с учетом материалов, полученных П.С.Евсюковым /20/ при поисково-разведочных работах на уголь, представлен в следующем виде (снизу вверх):

1. Конгломераты крупногалечные с редкими прослойками (0,7-0,9 м) аргиллитов, алевролитов и песчаников . . . . . 36,6 м
2. Аргиллиты серые с прослойем песчаников (0,8 м) среднезернистых, крепких . . . . . 4,4 "
3. Конгломераты среднегалечные . . . . . I "
4. Аргиллиты серые с тонкими линзами каменного угля . . . . . I "
5. Алевролиты серые с прослойями конгломератов (0,4 м) и аргиллитов (0,2 м) . . . . . 2,8 "

6. Гравелиты серые, крепкие . . . . . 1,6 м
7. Аргиллиты серые, некрепкие с прослойем конгломератов (0,4 м) и тонкими линзами каменного угля . . . . . II, I "
8. Алевролиты серые, некрепкие, с линзовидными прослойками песчаников и каменного угля . . . . . 2,5 "
9. Конгломераты среднегалечные, крепкие, с двумя прослойками (0,9 и 2,2 м) алевролитов серых с тонкими линзами каменного угля, отпечатками флоры плохой сохранности . . . . . 18,5 "
10. Переслаивающиеся песчаники, алевролиты и аргиллиты с прослоем гравелитов (1,3 м). Мощность слоев составляет 0,7-2,8 м . . . . . 2,8 "
11. Конгломераты среднегалечные с прослоем песчаников (0,5 м) мелкозернистых . . . . . 7,3 "
12. Песчаники разнозернистые, светло-серые, с маломощными прослойками алевролитов, отпечатками флоры плохой сохранности . . . . . 6,2 "

Общая мощность разреза 101,1 м.

Отложения хулгунской свиты на территории листа не выдержаны по мощности, поскольку различными горизонтами трансгрессивно залегают на верхнемеловых образованиях. Максимальная их мощность (150 м) установлена в междуречье Напаны - Рассошины.

В связи со сходством литологического состава отложений хулгунской свиты с образованиями напанской и снатольской свит, микроскопическое описание отдельных разновидностей пород приводится совместно для всей тигильской серии в конце раздела.

Из отложений хулгунской свиты по р.Рассошине собраны следующие флористические остатки: *Sciadopitys shiragica* Husioka, *Metasequoia disticha* (Heer) Miki, *Glyptostrobus europeus* (Bronn.) Heer, *Taxodium dubium* (Sternb) Heer, *Quercus castaneifolia* Mey, *Acer disputabilis* Holl., *Tilia cf. michironsis* Hu et Chaney и др.

По заключению Г.Б.Чигаевой, этот комплекс флоры характерен для палеогеновых, без уточнения отложений.

Из этого же разреза палинологическим анализом выделен комплекс спор и пыльцы. По заключению З.Н.Лукьяновой, преобладание в спектре типично нижнепалеогеновой пыльцы *Triporopollenites*, *Triatriopollenites*, *Tricolpopollenites*, а также наличие пыльцы теплолюбивой широколистенной (*Juglandaceae*, *Ulmaceae*, *Ranunculaceae*) и субтропической (*Ilex*, *Namamelidaceae*) растительности указывают на палеоценовый возраст вмещающих отложений.

По р.Напане Б.Ф.Дьяковым из отложений хулгунской свиты отобрана флора следующего видового состава: *Ginkgo adiantoides* (Vng.) Heer, *Populus zaddachii* Heer, *Juglans nigella* Heer, *Corylus macquarrii* (Forbes) Heer, *Betula macrophylla* Goep., *Castanea ungeri* Heer, *Quercus groenlandica* Heer, *Trochodendroides arcticus* (Heer) Berry, *Platanus aceroides latifolia* Knowlt., *Hedera maclarei* Heer, *Fraxinus yukonensis* Holl., *Viburnum nordenskioldii* Heer. и др. /2/.

По заключению Э.Н.Кара-Мурза, приведенная флора является переходной от верхнемеловых форм к нижнетретичным.

На основании изложенного выше возраст образований хулгунской свиты устанавливается в пределах палеоцена.

Мощность отложений свиты составляет 150 м.

### Эоцен

#### Нижний эоцен

#### Тигильская серия

Напанская свита ( $\Psi_2$  п.). Отложения свиты наиболее распространены в бассейне р.Половинки, откуда узкой до 1,5 км, полосой прослеживаются к юго-западу до р.Напаны. Сложена свита аргиллитами, алевролитами, песчаниками, конгломератами и каменными углами.

Отложения напанской свиты согласно залегают на образованиях хулгунской свиты и в то же время трансгрессивно с резким угловым несогласием перекрывают верхнемеловые.

Трансгрессивное залегание пород напанской свиты на верхнемеловых образованиях наблюдалось по р.Рассошине /26/. Здесь на их размытой с "карманами" поверхности залегают (снизу вверх):

1. Конгломераты крупногалечные, серые, крепкие.  
Галька состоит из меловых пород (аргиллитов, песчаников) и андезитовых порфиритов . . . . . 1,9 "
2. Песчаники среднезернистые, светло-серые, средней крепости . . . . . 2,8 "
3. Конгломераты разногалечные, серые, средней крепости . . . . . 2,1 "
4. Песчаники среднезернистые, светло-серые . . . 1,8 "
5. Конгломераты разногалечные, серые . . . . . 3,2 "
6. Песчаники среднезернистые, серые, слоистые, средней крепости . . . . . 8 "

Общая мощность разреза 19,8 м.

Сводный разрез, характеризующий строение напанской свиты, изучен по р.Половинке /20/. Здесь на породах хулгунской свиты согласно залегают (снизу вверх):

1. Алевролиты темно-серые . . . . .	15 м
2. Аргиллиты серые . . . . .	5 "
3. Каменный уголь . . . . .	0,6 "
4. Аргиллиты серые . . . . .	2 "
5. Песчаники разнозернистые . . . . .	9,5 "
6. Каменный уголь . . . . .	0,5 "
7. Песчаники разнозернистые . . . . .	20 "
8. Каменный уголь . . . . .	1,6 "
9. Аргиллиты . . . . .	5 "
10. Алевролиты . . . . .	6 "
II. Каменный уголь . . . . .	0,8 "
I2. Аргиллиты темно-серые . . . . .	2 "
I3. Алевролиты . . . . .	3 "
I4. Песчаники разнозернистые с прослойями конгломератов . . . . .	23,6 "
I5. Аргиллиты черные, углистые . . . . .	II,5 "
I6. Каменный уголь . . . . .	0,6 "
I7. Аргиллиты с прослойями алевролитов . . . . .	2,5 "
I8. Песчаники разнозернистые . . . . .	9 "
I9. Каменный уголь . . . . .	I,3 "
I20. Песчаники разнозернистые . . . . .	I2 "
I21. Алевролиты темно-серые . . . . .	I2,8 "
I22. Песчаники разнозернистые с линзами конгломератов . . . . .	48 "
I23. Песчаники разнозернистые с прослойями аргиллитов . . . . .	I6,5 "
I24. Каменный уголь . . . . .	I,7 "
I25. Аргиллиты черные, темно-серые, углистые . . . . .	5,9 "
I26. Алевролиты темно-серые . . . . .	5,6 "
I27. Аргиллиты черные . . . . .	II,2 "
I28. Песчаники крупнозернистые . . . . .	2,2 "
I29. Аргиллиты темно-серые, черные, углистые, с прослоем (I м) угля сажистого . . . . .	I0,5 "
I30. Песчаники среднезернистые, светло-серые, с линзой конгломератов (0,6 м) . . . . .	7 "
I31. Аргиллиты черные с тонкими прослойями аргиллитов и песчаников . . . . .	6,6 "



12537

32. Грубо переслаивающиеся аргиллиты, алевролиты и песчаники . . . . .	38,2 м
33. Каменный уголь . . . . .	0,6 "
34. Аргиллиты с прослойками алевролитов . . . . .	9,3 "
35. Песчаники с маломощными прослойками алевролитов и конгломератов . . . . .	10,5 "
36. Аргиллиты с редкими прослойками алевролитов . . . . .	7,3 "
37. Каменный уголь . . . . .	3 "
38. Переслаивающиеся аргиллиты и алевролиты . . . . .	15,9 "
39. Каменный уголь . . . . .	2,4 "
40. Переслаивающиеся аргиллиты, алевролиты и песчаники . . . . .	13,1 "
41. Каменный уголь . . . . .	2,9 "
42. Переслаивающиеся песчаники мелковзернистые и аргиллиты серые, слоистые . . . . .	37,3 "
Общая мощность 400 м.	

Из образований напанской свиты по рекам Напана и Рассошине собраны следующие флористические остатки: *Metasequoia disticha* (Heer) Miki, *Sequoia langsdorffii* (Brongn.) Heeg, *Trochodendroides speciosa* (Ward) Berry, *Acer arcticum* Heeg, *Saliciphyllum kinkilensis* Chig. и др., которые указывают, по мнению Г.Б.Чагаевой, на раннеэоценовый возраст вмещающих их пород /26/.

Мощность отложений напанской свиты 400 м.

#### Средний эоцен

Снатольская свита ( $P_2$ , н.). Отложения свиты развиты в бассейнах рек Гаванки, Половинки, Подземной, откуда они неширокой полосой прослеживаются на юго-запад к устью р.Рассошины и на левобережье р.Напаны.

Свита представлена преимущественно песчаниками и алевролитами. Подчиненную роль в разрезе имеют аргиллиты, конгломераты и маломощные линзовидные прослои каменного угля. Отложения снатольской свиты согласно залегают на угленосных образованиях напанской свиты. Сводный их разрез составлен по р.Половинке /20/, где снизу вверх залегают:

1. Песчаники разнозернистые с прослойками конгломератов . . . . .	II,9 м
2. Аргиллиты серые . . . . .	10,3 "
3. Песчаники разнозернистые с прослойками аргиллитов и алевролитов . . . . .	42,5 "

4. Аргиллиты темно-серые . . . . .	8,5 м
5. Алевролиты темно-серые . . . . .	7 "
6. Песчаники разнозернистые . . . . .	53 "
7. Алевролиты темно-серые . . . . .	4 "
8. Аргиллиты углистые, черные . . . . .	0,6 "
9. Песчаники мелковзернистые . . . . .	12 "
10. Алевролиты темно-серые . . . . .	6 "
11. Песчаники светло-серые . . . . .	48 "
12. Алевролиты темно-серые . . . . .	9 "
13. Песчаники разнозернистые с прослойками конгломератов . . . . .	170 "
14. Песчаники тонкослоистые . . . . .	12,5 "
15. Песчаники разнозернистые с прослойками ракушняка в нижней части слоя . . . . .	70,3 "
16. Каменный уголь с прослойками аргиллитов . . . . .	1,2 "
17. Аргиллиты темно-серые . . . . .	8 "
18. Песчаники разнозернистые с прослойками аргиллитов . . . . .	185 "
19. Аргиллиты с линзовидными прослоями каменного угля . . . . .	0,8 "
20. Алевролиты темно-серые . . . . .	9 "
21. Аргиллиты темно-серые . . . . .	9 "
22. Песчаники разнозернистые . . . . .	61 "

Общая мощность разреза 739,6 м.  
Из отложений снатольской свиты собрана следующая фауна:  
*Mytilus littoralis* Slod., *Corbicula fonsata* Slod., *Corbicula kamtschatica* L.Krisht., *Cyrena ovalis* L.Krisht., *Turritella helenica* L.Krisht., *Macrocallista cf. tigilensis* L.Krisht. и др.

По заключению В.М.Гладиковой, этот комплекс фауны характерен для снатольского фаунистического горизонта (зона *Mytilus yokouamai*) среднезоценового возраста.

Мощность отложений снатольской свиты составляет 750 м.

Ниже приводится петрографическая характеристика разновидностей пород, слагающих отложения тигильской серии.

Конгломераты разногалечные до валунных с песчано-глинистым или песчано-карбонатным цементом. В составе гальки значительное место занимают породы майначской и ирунайской свит. В меньшем количестве присутствует галька магматических пород - диабазов, андезитов и андезитовых порфиритов.

Гравелиты отличаются от конгломератов лишь размерностью гальки.

Песчаники полимиктовые имеют псаммитовую или алевропсаммитовую структуру. Обломки пород резко преобладают и представлены аргиллитами, алевролитами, кремнистыми сланцами и эфузивами среднего состава. Из минералов в кластической части песчаников присутствуют кварц, плагиоклаз, пироксен. Цемент глинистый, глинисто-карбонатный типа соприкосновения, базальный, реже поровый.

В алевролитах устанавливается алевритовая структура. Состоит они из обломков минералов – кварца, полевого шпата, реже эфузивных пород. Цемент глинистый, глинисто-слюдистый, базального типа.

#### Верхний эоцен

##### Ковачинская серия

Отложения ковачинской серии ( $P_2^{Kv}$ ) в пределах описываемой территории распространены широко. Наиболее развиты они в центральной части площади листа – в бассейнах рек Дальней, Рассошины (Латаевой), Рассошины и Напаны. Кроме того, небольшие выходы отложений серии вскрываются в присводовых частях антиклинальных структур в бассейнах рек Гаванки и Аманьи.

Взаимоотношения образований ковачинской серии с более древними отложениями на отдельных участках площади различны.

На юго-востоке территории, в бассейнах рек Рассошины (Латаевой), Щековской и Изменной, отложения серии трансгрессивно с резким угловым несогласием залегают на верхнемеловых породах. Здесь, в основании разреза ковачинской серии, наблюдаются конгломераты мелко- и среднегалечные, серые, средней крепости, с линзовидными прослоями каменного угля.

На большинстве участков описываемой площади установлено согласное, с постепенными переходами, залегание ковачинских отложений на породах снатольской свиты. Граница между ними в этих случаях проводится по смене песчаного разреза снатольской свиты глинистыми породами – аргиллитами и алевролитами ковачинской серии. В то же время вблизи выходов на дневную поверхность верхнемеловых образований между отложениями ковачинской серии и снатольской свиты наблюдается несогласие, которое описано по рекам Ланоч и Напане /10/.

По р.Ланоч на размытой, волнистой поверхности снатольских алевролитов с азимутальным и угловым несогласием залегают пес-

чаники мелко- и среднезернистые, серые, с включениями мелкой гальки.

По р.Напане на размытой поверхности аргиллитов снатольской свиты залегают (снизу вверх):

1. Гравелиты светло-серые, крепкие. Галька состоит из андезитов, диоритовых порфиритов, алевролитов, кремнистых пород и аргиллитов . . . . . 7 м

2. Песчаники крупнозернистые, серые, средней крепости, с маломощными прослоями аргиллитов темно-серых . . . . . 10 "

3. Аргиллиты серые со скрлуповатой отдельностью . . . . . 60 "

Мощность разреза 77 м.

Следует отметить, что подобные взаимоотношения между отложениями ковачинской серии и снатольской свиты вблизи выходов меловых пород описаны и на соседней к западу территории на м.Омгон /46/.

В целом стратиграфически выше разрез отложений ковачинской серии на территории листа характеризуется однообразным строением и представлен переслаивающимися аргиллитами и алевролитами. Породы обычно серого и светло-серого цвета, мелкоосколчатые, скрлуповатые. В верхней части разреза отмечаются прослои (до 1,5-2 м) туфааргиллитов, туфаалевролитов и известковистых песчаников. По всему разрезу встречаются известково-мергелистые конкреции овальной и караваеобразной формы до 1,6 м в поперечнике.

Ниже приводится микроскопическое описание пород, слагающих отложения ковачинской серии.

Песчаники по составу не отличаются от подобных в разрезе тигильской серии.

Алевролиты имеют алевритовую структуру. Обломки представлены плагиоклазом, кварцем, пироксеном и эфузивными породами. Цемент глинистый, часто наблюдаются хорошо сохранившиеся обломки фораминифер.

Аргиллиты с пелитовой и алевропелитовой структурами состоят из глинисто-слюдистого агрегата с незначительной примесью обломков алевритовой размерности. Они сложены плагиоклазом, кварцем и измененными эфузивами.

Мергели, встречающиеся в виде конкреций, сложены микрозернистым агрегатом карбоната (70-75%), глинистыми минералами (15-20%) и обломками алевритовой размерности. Последние представлены кварцем и плагиоклазом.

Из отложений ковачинской серии отобрана следующая фауна (опред. В.М. Гладиковой): *Yoldia transvena* L.Krisht., *Variamusium pillarense* Slod., *Lima oakvilensis* Clark., *Septifer dichotomus* Gabb., *Cardita kovatschensis* Slod., *Venericardia cf. nipponica* Yok., *Thyasira pervulgata* L.Krisht., *Nemocardium longenoanum* (Arnold), *Macrocallista dvalii* Ilyina, *Pitar tigilensis* L.Krisht., *Macoma logevoensis* (Arnold), *Macoma kamschatica* Ilyina, *Turrutella kovatschensis* L. Krisht. и др., которая, указывает на верхнезоценовый возраст вмещающих пород.

Мощность отложений ковачинской серии составляет 500 м.

### Олигоцен

#### Ваямпольская серия

Осадочные образования этой серии по литологическим признакам и характерным фаунистическим комплексам разделяются на гакхинскую, утхолокскую, вивентекскую и кулувенскую свиты.

Гакхинская свита ( $F_3 y^b$ ). Отложения свиты занимают большие площади в бассейнах рек Напаны, Рассошины, Лев. Пирожниковой, Аманины, Крутой, Кипины и Гаванки.

На нижележащих образованиях ковачинской серии отложения гакхинской свиты залегают согласно с постепенным переходом. Граница между ними проводится по смене некрепких, серых, со скорлуповатой отдельностью аргиллитов ковачинской серии крепкими, светло-серыми, серыми туфоалевролитами или туфоаргиллитами гакхинской свиты. Такие взаимоотношения наблюдались в бассейнах рек Напаны, Гаванки и Рассошины. Примером характера взаимоотношения между этими стратиграфическими подразделениями может служить разрез, описанный в бассейне р. Рассошины (Латаевой), где снизу вверх залегают:

#### Ковачинская серия

1. Аргиллиты серые, некрепкие, со скорлуповатой отдельностью, с тонкими (3-5 см) прослойками желтой глины . . . . . 5 м
2. Алевролиты серые, средней крепости, с крупной скорлуповатой отдельностью . . . . . 2 "
3. Аргиллиты серые, некрепкие, со скорлуповатой отдельностью . . . . . 3 "

### Гакхинская свита

4. Туфоалевролиты светло-серые, крепкие, тонко-плитчатые, с тонкими прослойками желтой глины . . . . . 3 м
  5. Туфоаргиллиты светло-серые, крепкие, с кольцами окисления . . . . . 1 "
  6. Туфоалевролиты светло-серые, крепкие с прослойками, мощностью 3-15 см, желтой глины . . . . . II "
- Общая мощность 25 м.

В целом свита представлена переслаивающимися туфоаргиллитами, туфоалевролитами, опоковидными породами, туфопесчаниками. В разрезе часто встречаются маломощные прослои (1-5 см) желтой глины. По всему разрезу отмечаются овальные конкреции, состоящие из серого мергеля. Опоки в разрезе встречаются сравнительно редко в виде прослоев мощностью 0,1-0,5 м, а опоковидные породы образуют горизонты мощностью до 15-20 м. Опоки состоят из криптозернистого опала (85-90%), глинистых минералов (5-10%) и включений кварца, полевых шпатов (около 5%). Опоковидные породы отличаются от опок большим содержанием глинистых минералов (20-25%) и алевритовых включений (до 15%). Все породы свиты туфогенные серые или светло-серые, выбеливающиеся при выветривании, часто окислены по плоскостям отдельности.

В юго-восточной части района устанавливается несогласное прилегание конгломератов гакхинской свиты к верхнемеловым иркутским образованиям. Конгломераты разногалечные, зеленые, с редкими валунами и глыбами до 1 м в диаметре, состоящие из кремнистых сланцев и туфов. По простиранию, на расстоянии 3-5 м от контакта, они линзовидно выклиниваются и фациально замещаются песчаниками. В этой части района нижняя часть разреза гакхинской свиты, мощностью около 180 м, отличается от остальной территории и представлена преимущественно туфопесчаниками светло-серыми, серыми, мелко- и среднезернистыми, средней крепости, с редкими включениями мелкой, хорошо окатанной гальки, состоящей из кремнистых сланцев, туфов и эфузивных пород.

Отложения отдельных свит ваямпольской серии существенно не отличаются по литологическому составу, в связи с чем микроскопическое описание основных разновидностей пород приводится в конце раздела.

Из отложений гакхинской свиты отобрана следующая фауна (опред. В.М. Гладиковой, Г.П. Борзуновой, Л.К. Пелехатой): *Nucula miocenica* L.Krisht., *N.cf.robai* (Kuroda), *Yoldia ex gr.*

*nitida* Slod., *Y.cerussata* Slod., *Delectopecten kriljomensis* L. Krisht., *Laternula pilensis* Slod., *Cuspidaria kovatschensis* Ilyina, *Cardita striata* L.Krisht., *C.napanica* Ilyina, *Laevicardium puchlense* Ilyina, *Liocyma furtiva* (Vok.), которая указывает на олигоценовый возраст вмещающих пород.

Мощность отложений гакхинской свиты составляет 550 м.

#### НЕОГЕНОВАЯ СИСТЕМА

##### Миоцен

###### Ваямпольская серия

Утхолокская свита ( $N_1 ut$ ). Отложения свиты развиты только в северной части площади, в бассейнах рек Гаванки, Пурганец, Кипины, где прослеживаются в виде двух узких полос на крыльях Хромовско-Гавансской антиклинальной зоны.

Разрез утхолокской свиты состоит в основном из туфопесчаников, среди которых встречаются карбонатные конкреции до 0,3 м в диаметре и прослои туфаалевролитов, туфоаргиллитов, туфитов. Причем, туфоаргиллиты и туфаалевролиты преимущественно содержатся в нижней и верхней частях разреза. Образования утхолокской свиты согласно с постепенным переходом перекрывают отложения гакхинской свиты. Взаимоотношение между этими свитами наблюдалось по правому притоку р.Кипины, где в переходной зоне мощностью около 20 м, туфаалевролиты переслаиваются через 10-30-50 см с туфопесчаниками серыми, среднезернистыми, содержащими мелкий обуглившийся растительный детрит и редкую мелкую, хорошо окатанную гальку. Вверх по разрезу объем песчаников резко возрастает и в следующем обнажении среди песчаников отмечаются лишь редкие прослои туфаалевролитов. В целом, в разрезе свиты преобладают туфопесчаники серые, темно-серые, мелко- и среднезернистые, средней крепости, массивные, с обуглившимся растительным детритом и включениями мелкой хорошо окатанной гальки. Часто по плоскостям слоистости и трещинам отдельности отмечается бурый, темно-бурый, иногда черный налет гидроокислов железа. Туфоаргиллиты и туфаалевролиты утхолокской свиты близки по внешнему облику и составу к соответствующим разновидностям, пород гакхинской свиты. Это обычно серые или светло-серые, плотные, крепкие, выбеливающиеся при выветривании породы.

Из отложений утхолокской свиты отобран следующий комплекс фауны (опред. В.М.Гладиковой, Л.К.Пелехатой): *Nuculana slodkewitschi* (Kogan), *N.utcholokensis* Ilyina, *Yoldia cerrussata*

*istratovae* L.Krisht., *Y.ex gr.pennulata* Slod., *Laternula besshoensis* (Yok.), *Cuspidaria tigilensis* maajanatschensis (Ilina), *Laevicardium puchlense* Ilyina, *Liocyma fluctuosa* (Gould). Этот комплекс фауны указывает на раннемиоценовый возраст вмещающих его пород.

Мощность отложений утхолокской свиты 150 м.

Вивентекская свита ( $N_1 vv$ ). На территории листа отложения свиты развиты в северной его части - в бассейнах рек Гаванки, Пурганец, Кипины. Кроме того, небольшой по площади выход отложений свиты установлен в бассейне р.Изменной. Отложения вивентекской свиты согласно с постепенным переходом залегают на образованиях утхолокской свиты /45/. Литологически вивентекская свита представлена туфааргиллитами, туфаалевролитами, опоками, опоковидными породами, кремнями, туфопесчаниками. Последние в разрезе северной части района встречаются редко в виде маломощных (0,1-0,2 м) прослоев. Более насыщена туфопесчаниками нижняя часть разреза свиты в восточной части площади, в бассейне р.Изменной, где снизу вверх залегают:

1. Туфаалевролиты серые, крепкие . . . . . 1,5 м
2. Туфопесчаники светло-серые, мелкозернистые, глинистые . . . . . 0,9 "
3. Туфопесчаники серые, мелкозернистые, тонкослоистые с *Selectopecten pedroanus* Trask, *Cardita cf. wajampolkensis* Ilyina . . . . . 2,5 "
4. Туфопесчаники серые, мелкозернистые . . . . . 0,3 "
5. Туфаалевролиты темно-серые, крепкие . . . . . 0,2 "
6. Туфопесчаники серые, разнозернистые, с редкими включениями мелкой хорошо окатанной гальки . . . . . 0,3 "
7. Туфаалевролиты серые . . . . . 0,8 "
8. Туфопесчаники серые, мелкозернистые . . . . . 0,6 "
9. Туфаалевролиты темно-серые . . . . . 2,9 "
10. Туфопесчаники глинистые, темно-серые, мелкозернистые . . . . . 0,2 "
11. Туфаалевролиты серые . . . . . 1,3 "
12. Туфаалевролиты темно-серые с редким растительным детритом . . . . . 0,2 "
13. Туфаалевролиты серые, тонкослоистые, с растительным детритом . . . . . 2,3 "
14. Туфопесчаники глинистые, серые, мелкозернистые . . . . . 0,3 "
15. Туфаалевролиты серые, тонкоплитчатые, с растительным детритом . . . . . 0,9 "

16. Туфопесчаники глинистые, серые, мелкозернистые . . . . .	0,2 м
17. Туфоалевролиты серые с кремнистыми конкрециями овальной формы до 0,3 м в диаметре . . . . .	2,7 "
18. Глина туфогенная, песчаная, серая с зеленоватым оттенком . . . . .	0,2 "
19. Туфопесчаники глинистые, серые, мелкозернистые . . . . .	0,7 "
20. Туфоалевролиты светло-серые . . . . .	2,4 "
21. Туфопесчаники глинистые, серые, с редкими зернами глауконита . . . . .	0,3 "
22. Туфоалевролиты серые . . . . .	0,4 "
23. Туфопесчаники светло-серые, мелкозернистые, с линзочками гравелитов . . . . .	2,4 "
24. Туфоаргиллиты опоковидные, серые . . . . .	0,3 "
25. Туфопесчаники глинистые, серые с зеленоватым оттенком, мелкозернистые . . . . .	0,8 "
26. Туфоалевролиты серые . . . . .	0,5 "
27. Туфогравелиты кремнистые, серые . . . . .	0,2 "
28. Туфопесчаники, светло-серые, мелкозернистые . .	3,8 "
29. Туфоаргиллиты, кремнистые, серые, крепкие . .	0,2 "
30. Туфопесчаники светло-серые, мелкозернистые . .	0,4 "
31. Туфоаргиллиты кремнистые, серые, крепкие . .	0,2 "
32. Туфопесчаники светло-серые с тонкими про слоями глины . . . . .	0,4 "
33. Ритмично переслаивающиеся туфопесчаники серые, мелкозернистые с туфоаргиллитами кремнистыми, серыми. Мощность прослоев туфопесчаников 0,4-0,5 м, туфоаргиллиты - 0,2-0,3 м . . . . .	6,0 "
34. Туфоаргиллиты светло-серые . . . . .	0,4 "
35. Туфопесчаники глинистые, мелкозернистые, с редкими включениями мелкой хорошо окатанной гальки . .	0,4 "
36. Туфопесчаники серые, мелкозернистые, переслаиваются с туфоалевролитами и туфоаргиллитами серыми, крепкими . . . . .	8,5 "
Общая мощность 47,1 м.	

На территории листа вивентекской свиты отобраны остатки ископаемой фауны (определ. Л.К.Пелехатой): *Delectopecten pedroanus* Trask., *Laternula besshoensis* (Yok.), *Cardita ex gr. wajampolkensis* Ilyina, *Macoma nasuta* (Congr.), *Saxicava cf. pholadis* Linne.

На основании вышеприведенного комплекса фауны возраст отложений вивентекской свиты устанавливается как раннемиоценовый.

Мощность свиты составляет 300 м.

Кулувенская свита ( $N_1^{kl}$ ). Отложения свиты развиты только в северной части района, где они занимают два небольших по площади участка на крыльях Гаванскою антиклинальной структуры. По данным К.М.Севостьянова, образования кулувенской свиты залегают согласно с постепенным переходом на отложениях вивентекской свиты /45/. Обычно туфоаргиллиты и туфоалевролиты вивентекской свиты постепенно сменяются вверх по разрезу кулувенскими туфопесчаниками, среди которых отмечаются пласти и прослои туффитов, туфоалевролитов и, редко, туфоаргиллитов. В разрезе свиты содержатся конкреции мергеля в диаметре до 0,7 м.

Туфопесчаники светло- и желтовато-серые, мелко- и среднезернистые, средней крепости, часто содержащие мелкую, хорошо окатанную гальку кремнистых сланцев и эфузивных пород.

Туффиты светло-серые, серые, мелко- и среднезернистые, массивные, реже слоистые, средней крепости. В них часто встречается мелкая хорошо окатанная галька эфузивных пород и обуглившийся растительный детрит. Туфоалевролиты и туфоаргиллиты серые и светло-серые, крепкие, иногда средней крепости.

По сборам К.М.Севостьянова, Л.В.Проживина определила следующую фауну: *Laternula besshoensis* Yok., *Yoldia* sp. (Y. cf. *tolunagai* Yok.) /45/. На смежной к северу площади, где значительно шире развиты и лучше обнажены отложения свиты, отобран и определен богатый комплекс фауны, на основании которого установлен ее ранне-среднемиоценовый возраст /6/. Этот возраст подтверждается и тем, что отложения свиты перекрываются фаунистически охарактеризованными среднемиоценовыми образованиями ильинской свиты.

Мощность отложений свиты в районе не превышает 150 м.

Ниже приводится микроскопическое описание основных разновидностей пород, слагающих образования ваямпольской серии.

Туфопесчаники имеют псамmitовую или алевропсамmitовую структуру. Обломочная фракция составляет от 50 до 80% объема породы и состоит из кварца, плагиоклаза, вулканического стекла, измененных эфузивов. Цемент глинистый, глинисто-карбонатный с примесью туфогенного материала.

Туфоалевролиты имеют алевритовую или алевропелитовую структуру. Кластическая часть породы не отличается от таковой в туфо-

песчаниках. Цемент глинистый с примесью туфогенного материала. Нередко отмечаются реликты органических остатков, выполненных опалом.

В туфоаргиллитах устанавливается пелитовая, реже алевропелитовая структура. Состоят они из глинистого материала, в который погружены редкие (до 10%) обломки кварца, плагиоклаза и вулканического стекла алевритовой размерности.

#### Кавранская серия

Отложения кавранской серии широко развиты в районе. Они разделяются на ильинскую, какертскую, этолонскую и эрмановскую свиты.

Ильинская свита ( $N_1 il$ ). Образования свиты выделяются на крыльях синклинальных структур в бассейнах рек Ланоч, Напаны, Тигиля, Кипины, Аманины, в виде нешироких полос, в основном, субмеридионального простирания. Они трансгрессивно с угловым несогласием перекрывают разные горизонты ваямпольской и ковачинской серий. В основании свиты повсеместно залегают базальные конгломераты, за исключением участков по рекам Ланоч и Напане, где по данным В.П. Бдовенко, базальные слои представлены песчаниками /10/.

Слагают свиту песчаники, гравелиты, конгломераты. В верхней части разреза редко встречаются туфоалевролиты мощностью до 0,4 м, серые или зеленовато-серые, слоистые, средней крепости, с мелким обуглившимся растительным детритом. Примером строения нижней части ильинской свиты может служить разрез, описанный в бассейне р. Кипины, где снизу вверх залегают:

1. Конгломераты серые, крупногалечные, средней крепости, с валунами эфузивных пород . . . . . 2 м
  2. Песчаники полимиктовые, серые, крупнозернистые, средней крепости, с хорошо окатанной галькой и остатками фауны: *Modiolus wojsampolkensis* Slod., *Papyridia kipenensis* Slod., *Papyridia seruciformis* Slod. и др. . . . . 9 "
  3. Конгломераты серые с зеленоватым оттенком, крупногалечные, средней крепости, с редкими валунами эфузивных пород . . . . . 2 "
  4. Песчаники полимиктовые, серые, разнозернистые, средней крепости, с редкой хорошо окатанной галькой . . 12 "
- Общая мощность 25 м.

Ниже приводится характеристика отдельных разновидностей пород.

Конгломераты разногалечные. Галька преимущественно средней окатанности и состоит из андезитов, базальтов, алевролитов, аргиллитов, кремнистых сланцев. Цемент песчано-глинистый, реже глинисто-карбонатный.

Гравелиты состоят из хорошо окатанной гальки (80-85%), андезитов, базальтов, туфоалевролитов. Цемент глинистый, песчано-глинистый.

Песчаники имеют псаммитовую и псевопсаммитовую структуру. Кластическая часть породы представлена разноокатанными обломками эфузивов среднего и основного состава, аргиллитов, алевролитов. Реже присутствуют обломки минералов – кварца, плагиоклаза, пироксена, роговой обманки. Цемент глинисто-карбонатный.

Из отложений ильинской свиты собрана следующая фауна (опред. В.М. Гладиковой, Г.Л. Борзуновой, Л.К. Пелехатой): *Yoldia kuluntwensis* Slod., *Y. ex gr. nabiliana* (Sim.), *Pododesmus macrostisima* (Dech.), *Mytilus shejsliveemensis* Slod., *Modiolus wojsampolkensis* Slod., *Taras gravis* Kogan, *Clinocardium decortatum* (Grew.), *Papyridia kipenensis* Slod., *P. seruciformis* Slod., *Cardita kevetschveenensis* Slod., *Macrocallista tijuschevkensis* Khom., *Mya majanatschensis* Ilyina, *Saxicava pholadis* (Linne), *Pholadidea penita* (Conrad), *Turritella kavranica* Ilyina.

По заключению палеонтолога В.М. Гладиковой, вышеупомянутый комплекс фауны характерен на Западной Камчатке для ильинского (среднемиоценового) фаунистического горизонта.

Мощность отложений свиты 200 м.

Какертская свита ( $N_1 kk$ ). Отложения свиты развиты в северной части площади в бассейнах рек Аманины, Кипины, Зех и Кульки, где участвуют в строении крыльев синклинальных структур. На образованиях ильинской свиты они залегают согласно с постепенным переходом. Свита сложена туффитами, туфопесчаниками, туфоалевролитами, туфоаргиллитами, туфами. Редко встречаются конкреции серого мергеля. В разрезе свиты резко преобладают туффиты над остальными разновидностями пород.

Туффиты желтовато-серые, светло-серые, серые, выбеливаются при выветривании, мелко-, средне- и крупнозернистые, массивные. В крупнозернистых разностях содержатся включения хорошо окатанной гальки, состоящей из андезитов и пемзы. Туфопесчаники, зеленовато-серые, желтовато-серые, мелко- и среднезернистые, массивные, средней крепости. Туфоалевролиты и туфоаргиллиты светло-

серые, пепельно-серые, плитчатые, средней крепости, по составу близки к подобным разностям пород ваямпольской серии.

Туфы витрокристаллолактические, кристаллолитолактические, желтовато-серые, светло-серые, средней крепости. Классическая часть представлена вулканическим стеклом, кварцем, плагиоклазом, пироксеном, биотитом, андезитами. Цемент глинистый, глинисто-карбонатный, типа соприкосновения.

Среднемиоценовый возраст отложений какертской свиты установлен на основании нижеприведенной фауны (определ. В.М.Гладиковой, Л.Н.Коновой): *Acila kamtschatica Ilyina*, *Nuculana psjkakaupensis Khom.*, *N.wajampolkensis Slod.*, *Yoldia thraciaeformis (Storer)*, *Y.chojensis Sim.*, *Pecten yessoensis Jay*, *Phacoides acutilineata (Conr.)*, *Serripes kamtschaticus Ilyina*, *S.groenlandicus Chemnitz*, *Macoma optiva (Tok.)*, *M.nasuta (Conr.)*.

Мощность отложений какертской свиты составляет 300 м.

Эт олон с к а я с в и т а ( $N_1^{el}$ ). Отложения свиты развиты в бассейнах рек Кульки, Зех, Кипины, Аманины, Лев. Пирожниковой и Изменной. Они трансгрессивно с угловым несогласием залегают на образованиях гаихинской и вивентекской свит в юго-восточной части района и на породах какертской свиты - в северной.

Свита сложена туфопесчаниками, полимиктовыми песчаниками, гравелитами, конгломератами и туфоалевролитами.

Неполный разрез отложений свиты описан по р.Аманиной, где снизу вверх залегают:

1. Гравелиты желтовато-серые, массивные, средней крепости, с редкими включениями хорошо окатанной гальки эфузивных пород . . . . . 8 м
2. Гравелиты темно-серые, массивные, средней крепости, с большим количеством гальки и валунов . . . . . 1 "
3. Туфопесчаники, желтовато-серые, среднезернистые, средней крепости . . . . . 4 "
4. Песчаники крупнозернистые, серые, некрепкие с редкими включениями хорошо окатанной гальки . . . . . 2 "
5. Конгломераты мелкогалечные, серые, средней крепости . . . . . 0,4 "
6. Туфопесчаники желтовато-серые, среднезернистые, средней крепости, с включениями гравия . . . . . 3 "
7. Конгломераты мелкогалечные, серые, с редкими валунами . . . . . 0,4 "

8. Туфопесчаники желтовато-серые, среднезернистые, некрепкие с *Macoma nasuta (Conr.) M.calcarea (Gmelin)*, *Licostoma fluctuosa Gould*. . . . . 1,8 м

9. Гравелиты бурковато-серые, средней крепости, с фауной и мелкой галькой . . . . . 0,5 "

10. Конгломераты серые, мелкогалечные, с редкими валунами эфузивных пород . . . . . 0,5 "

11. Туфопесчаники желтовато-серые, среднезернистые, средней крепости, с линзовидными прослоями мелкогалечных серых конгломератов . . . . . 15 "

12. Гравелиты желтовато-серые, косослоистые, средней крепости, ожелезненные . . . . . 6 "

Общая мощность 42,6 м.

Верхняя часть разреза свиты сложена преимущественно песчаниками полимиктовыми, среднезернистыми, серыми, желтовато-серыми, среди которых отмечаются прослои туфоалевролитов серых, светло-серых, средней крепости, слоистых.

Конгломераты средне- и мелкогалечные. Галька различной окатанности состоит из эфузивных пород среднего и основного состава, пемзы, кремнистых сланцев, туфов, песчаников и алевролитов. Цемент песчано-глинистый.

Гравелиты сложены галькой андезитов, базальтов, аргиллитов, алевролитов и кремнистых пород. Реже присутствуют обломки минералов, представленных плагиоклазом, кварцем и пироксеном. Цемент глинистый, глинисто-карбонатный.

Песчаники имеют псаммитовую, реже псевопсаммитовую и алевропсаммитовую структуру. Состоят из обломков, составляющих от 60 до 80% объема породы, которые скомпенсированы глинисто-слоистым или карбонатным элементом. По составу песчаники полимиктовые. Классическая часть породы представлена обломками пород (эфузивов, кремнистых сланцев, глинистых сланцев и минералов - плагиоклаза пироксена, кварца). В тектонических разностях, кроме того, присутствуют обломки вулканического стекла и пемзы.

Из отложений этолонской свиты отобрана фауна (определ. В.М.Гладиковой, Л.К.Пелехатой, Л.Н.Коновой): *Acila kamtschatica Ilyina*, *Nuculana tephria Dall*, *Yoldia ex gr. ochotensis Khom.*, *Glycymeris anatolensis Slod.*, *Arca obisoana Conr.*, *A. castellata Yok.*, *Barbatia stearnsii Pilsbry*, *Pecten ex gr. subyessoensis Jay.*, *Cardita etolensis Slod.*, *C. beringiana Slod.*, *C. kavranensis Slod.*, *Clinocardium californiense (Desh.)*, *Serripes ochotensis Ilyina*, *Chione securis (Shum.)*, *Macrocyclista kavranensis Ilyina*, *Macoma arctata (Conr.)*, *Sanguinolaria petri*

(Bartsch), *S.nuttalli* Conr., *Siliqua costata* (Say.), *Mya crassa* Grew., *Cryptomya kamtschatica* Ilyina, *Natica clausa* Brot. et Sow., *Crepidula princeps* Conr., *Volutopsis kamtschaticus* Ilyina, которая указывает на верхнемиоценовый возраст вмещающих образований.

Мощность отложений этолонской свиты составляет 250 м.

Эрмановская свита ( $N_{1-4}$ ). Отложения свиты развиты в северо-западной части района, в бассейнах рек Кульки, Черной и в юго-восточной – в междуречье Тигиля – Лев. Пирожниковой.

Литологически свита представлена конгломератами, гравелитами, песчаниками, алевролитами, аргиллитами и бурыми углями. На низележащих образованиях этолонской свиты они залегают согласно. Взаимоотношение между этими свитами наблюдалось в береговом обрыве р. Тигиль, где снизу вверх залегают:

#### Этолонская свита

1. Туфопесчаники светло-серые, мелкозернистые, средней крепости, массивные с *Laevicardium shinjiense* (Yok.), *Liocyma fluctuosa* (Gould), *Mya crassa* Grew. . . . . 3,5 м
  2. Алевролиты серые, средней крепости, с большим количеством растительного дегрита . . . . . 0,6 "
  3. Конгломераты серые, разногалечные, с редкими валунами эфузивных пород . . . . . 0,5 "
  4. Песчаники светло-серые, среднезернистые . . . . . 1,0 "
  5. Алевролиты серые, тонкослоистые, с прослойками и линзами мощностью до 1,5 м бурого угля . . . . . 5,0 "
- Общая мощность 10,6 м.

Наиболее угленасыщенный разрез эрмановской свиты описан по р. Тигиль, где снизу вверх залегают:

1. Песчаники разнозернистые, светло-серые с зеленоватым оттенком, слабо скементированные, с редкими включениями хорошо окатанной гальки и небольшими линзами серых гравелитов и алевролитов, в которых содержатся обуглившиеся обломки древесины . . . . . 3,5 м
2. Конгломераты буровато-серые, крупногалечниковые, некрепкие, с линзовидными прослойками песчаников и алевролитов, содержащих обуглившиеся обломки древесины . . . . . 3,5 "

3. Песчаники зеленовато-серые, разнозернистые, слабой крепости, с включением хорошо окатанной гальки . . . . .	2,8 м
4. Песчаники светло-серые с зеленоватым оттенком, разнозернистые, некрепкие, с двумя линзовидными прослойками, мощностью до 5 см, темно-коричневых алевролитов с большим количеством обуглившегося растительного дегрита . . . . .	1,5 "
5. Алевролиты темно-серые с коричневатым оттенком, содержащие в большом количестве обуглившийся растительный дегрит . . . . .	4,0 "
6. Аргиллиты углистые, черные, слабо литифицированные . . . . .	0,1 "
7. Алевролиты светло-серые, серые, некрепкие, с обуглившимися остатками древесины . . . . .	2,2 "
8. Бурый уголь с маломощными прослойками (3-5 см) углистых аргиллитов . . . . .	8,0 "
9. Аргиллиты светло-коричневые с обуглившимся растительным дегритом . . . . .	0,8 "
10. Бурый уголь . . . . .	0,8 "
11. Аргиллиты светло-коричневые с растительным дегритом . . . . .	1,5 "
12. Бурый уголь . . . . .	0,8 "
13. Аргиллиты серые с коричневатым оттенком, обильно содержащие растительный дегрит . . . . .	0,5 "
14. Бурый уголь . . . . .	0,3 "
15. Аргиллиты светло-серые и коричневато-серые, слоистые . . . . .	4,5 "
16. Бурый уголь . . . . .	0,5 "
17. Аргиллиты светло-серые с обуглившимся растительным дегритом . . . . .	0,4 "
18. Бурый уголь с маломощными прослойками аргиллитов . . . . .	1,2 "
19. Аргиллиты коричневые с маломощными (3-5 мм) прослойками бурых углей . . . . .	5,0 "
20. Алевролиты красновато-бурые с растительным дегритом . . . . .	1,5 "
21. Песчаники разнозернистые, желтые, некрепкие . . . . .	2,5 "

Общая мощность 45,9 м.

Гравелиты состоят из разноокатанной гальки кремнистых сланцев, андезитов и базальтов. Подчиненное значение имеют обломки

минералов, представленных плагиоклазом, пироксеном и роговой обманкой. Цемент пород глинистый, реже глинисто-карбонатный.

Песчаники имеют псамитовую структуру. Кластическая часть породы представлена обломками пород - эфузивами среднего и основного состава, кремнистыми сланцами, туфами и обломками минералов - плагиоклазом, пироксеном, кварцем. Цемент глинисто-слюдистый, реже глинисто-карбонатный.

Алевролиты отличаются от песчаников лишь размером обломков.

Аргиллиты имеют алевропелитовую структуру и состоят из тонкочешуйчатой глинистой массы, в которую погружены обломки (до 5-10%) алевритовой размерности, представленные плагиоклазом и кварцем. Иногда отмечаются округлые образования, выполненные опалом, - вероятно, остатки диатомей.

Из отложений свиты отобрана следующая ископаемая флора: *Betula polymorpha* Cheleb., *Salix* cf. *chuitensis* Wolfe, *Populus suaveolens* Fisch., *Alnaster pseudokamtschaticum* Baik. и др. По заключению Г.Б.Чигаевой, вышеупомянутая флора характерна для отложений эрмановской свиты, возраст которой устанавливается в пределах позднего миоцена.

Мощность отложений эрмановской свиты составляет 100 м.

#### ЧЕТВЕРТИЧНАЯ СИСТЕМА

Четвертичные отложения широко распространены на описываемой площади. Они подразделяются на верхнечетвертичные и современные.

#### Верхнечетвертичные отложения

Среди верхнечетвертичных образований выделяются водно-ледниковые и аллювиальные отложения.

Верхнечетвертичные водно-ледниковые отложения первой стадии второго оледенения ( $Q^2_{III}$ ) развиты в восточной части площади в бассейнах рек Аманины, Тигиль и Лев.Пирожниковой, где занимают низкие (до 170 м) водораздельные участки и пологие склоны долин. Представлены водно-ледниковые образования песками, галечниками, реже отмечаются супеси и глины.

Разрез водно-ледниковых отложений, описанный в береговом обрыве р.Тигиль, имеет следующее строение (сверху вниз):

1. Почвенно-растительный слой . . . . . 0,3 м
2. Песок серый, мелкозернистый, с редкой хорошо окатанной галькой эфузивных и осадочных пород . . . . . 0,4 "

3. Песок серый, мелкозернистый, глинистый . . . . .	1,3 м
4. Песок темно-серый, мелкозернистый, с мелкой редкой галькой . . . . .	1,2 "
5. Глина желтовато-серая, песчаная . . . . .	0,6 "
6. Песок серый, разнозернистый, с редкой галькой . . . . .	0,4 "
7. Песок темно-серый, мелкозернистый, глинистый . . . . .	0,3 "
8. Песок темно-серый, разнозернистый, с редкой галькой . . . . .	0,2 "
9. Глина темно-серая, песчаная . . . . .	0,3 "
10. Песок темно-серый, разнозернистый, с редкой галькой . . . . .	0,6 "
II. Галечник серый с валунами эфузивных пород . . .	1,5 "
Общая мощность 7,1 м.	

В результате спорово-пыльцевого анализа, проведенного И.А.Цепаевой, установлена пыльца кустарниковой бересклеты, сливовника, кедрового стланика, ивы, восковницы и тундрово-луговых трав, а также споры папоротника, грозовика, плаунов и плаунка сибирского. По заключению И.А.Цепаевой, полученные спектры довольно бедны по видовому и количественному составу. Они отражают лесотундровую растительность, соответствующую холодным климатическим условиям верхнечетвертичного времени.

Мощность водно-ледниковых отложений около 15 м.

Верхнечетвертичные аллювиальные отложения ( $Q^3_{III}$ ) слагают II надпойменную террасу 8-12-метрового уровня. Она прослеживается в долинах крупных рек района: Аманины, Тигилья, Напаны, Рассошины, Черной.

Верхнечетвертичные аллювиальные отложения представлены галечниками, песками и суглинками. Наиболее полный разрез описан по р.Рассошине, где сверху вниз залегают:

1. Почвенно-растительный слой . . . . . 0,3 м
2. Суглинок желтовато-серый с редким гравием . . . 1,0 "
3. Галечник буровато-серый . . . . . 0,2 "
4. Галечник желтовато-бурый с линзовидными прослоями, мощностью до 5 см, крупнозернистого серого песка . . . . . 0,8 "
5. Галечник серый с линзовидными прослоями, мощностью до 10 см, серого крупнозернистого песка и включениями валунов, состоящих из эфузивных пород . . . . . 4,6 "
6. Песок желтовато-серый, крупнозернистый, с редкой мелкой галькой . . . . . 0,3 "

Общая мощность 7,2 м.

Спорово-пыльцевым анализом в аллювиальных отложениях установлена пыльца кедрового стланика, кустарниковой берески, ольхи, ховника, ивы и трав - сложноцветных, зонтичных, кипрейных, злаковых. Определены споры папоротника, плаунов и в небольших количествах сфагновых, зеленых мхов, грозовика и плаунка сибирского. Палинолог И.А.Цепаева на основании изученных спорово-пыльцевых спектров считает, что аллювиальные отложения II надпойменной террасы формировались в позднечетвертичное время.

Мощность верхнечетвертичных аллювиальных отложений около 12 м.

#### Современные отложения ( $Q_{IV}$ )

Среди современных отложений выделяются аллювиальные, морские, торфяно-болотные, дельвиально-элювиальные и пролювиальные.

Аллювиальные отложения слагают поймы всех водотоков и I надпойменную террасу до 5-метрового уровня, которая широко развита в долинах основных рек и их крупных притоков. Современный аллювий представлен галечниками, песками, суглинками.

Разрез отложений I надпойменной террасы 5-метрового уровня описан в долине р.Аманины, где имеет следующее строение (сверху вниз):

1. Почвенно-растительный слой . . . . .	0,2 м
2. Суглинок буровато-желтый . . . . .	0,5 "
3. Песок желтовато-бурый, разнозернистый, с редкой мелкой галькой . . . . .	0,7 "
4. Галечник буровато-серый с разнозернистым песком . . . . .	0,4 "
5. Песок серый, разнозернистый, с галькой и гравием . . . . .	0,3 "
Общая мощность 2,1 м.	

Разрез высокой поймы в долине р.Тигиль имеет следующее строение (сверху вниз):

1. Почвенно-растительный слой . . . . .	0,3 м
2. Суглинок буровато-серый с гравием и мелкой галькой . . . . .	0,9 "
3. Галечник серый с разнозернистым серым песком и редкими валунами эфузивных пород . . . . .	1,0 "
Общая мощность 2,2 м.	

Максимальная мощность современных аллювиальных отложений составляет 5-7 м.

Морские современные отложения развиты на берегу Охотского моря. Они представлены галечниками с редкими валунами и разнозернистыми серыми песками. Эти отложения слагают полосу осушки и штормовой вал, который прослеживается на протяжении 3 км к юго-западу от северной границы территории листа.

Максимальная мощность современных морских отложений около 7 м.

Торфяно-болотные отложения широко развиты на рассматриваемой площади. Они расположены в долинах рек, на выровненных водоразделах и полях развития глинистых отложений, особенно палеогенового возраста. Торфяно-болотные образования представлены темно-бурым среднеразложившимся торфом, среди которого встречаются маломощные линзовидные прослои синевато-серой глины и светло-серого песка.

Мощность торфяно-болотных отложений достигает 5 м.

Дельвиально-элювиальные образования развиты на площади почти повсеместно и представлены глыбами, щебнем, песком, а в местах развития аргиллитов ковачинской серии - глинами. Максимальная мощность этих образований достигает у подножия склонов 5-10 м.

Пролювиальные отложения слагают мелкие конусы выноса, представленные плохо отсортированными галечниками, песком и щебнем. Мощность их не превышает 3-5 м.

## ИНТРУЗИВНЫЕ ОБРАЗОВАНИЯ

Магматические породы играют заметную роль в геологическом строении района, занимая в современном эрозионном срезе около 10% его площади. Исходя из геологического положения, петрографических и петрохимических особенностей, они подразделяются на следующие возрастные комплексы: позднемеловой, позднеоценовый, плиоценовый и четвертичный.

### ПОЗДНЕМЕЛОВЫЕ ИНТРУЗИИ И ДАЙКИ

Интузивные образования позднемелового возраста представлены диабазами и андезитовыми порфиритами. Они слагают мелкие штокообразные тела и дайки, пространственно приуроченные к полям развития верхнемеловых отложений майначской и ирунейской

свит. Площади выходов интрузий колеблются от 0,1 до 2 км<sup>2</sup>, а мощность отдельных даек не превышает 3-5 м.

Диабазы ( $\beta K_2$ ) слагают пять интрузивных тел и дайку в центральной части района. Они прорывают вулканогенно-кремнистые образования ирунейской свиты. Контактовые воздействия диабазов на вмещающие породы незначительны и выражаются в слабом ороговиковании и рассланцевании последних. Мощность контактово-измененных пород не превышает 2-3 м. В эндоконтактовых зонах диабазы интенсивно хлоритизированы и карбонатизированы. Макроскопически диабазы – темно-зеленые плотные породы. Они имеют офитовую структуру и состоят (в %) из плагиоклаза – 60-70, моноклинного пироксена – 20-25, титаномагнетита – 3-5. Вторичные минералы представлены альбитом, хлоритом, эпидотом и карбонатом. По химическому составу диабазы описываемого района близки к среднему составу диабаза, по Р.Дэли (табл. I, ан. I).

Андезитовые порфиры ( $\alpha K_2$ ) слагают небольшую интрузию и дайку в междуречье Тигиля – Наланы, где прорывают терригенные отложения мейначской свиты. Контактовые изменения вмещающих пород и андезитовых порфиров аналогичны описанным для диабазов. Андезитовые порфиры имеют зеленовато-серую окраску, порфировую структуру с гиалопилитовой основной массой. Фенокристаллы, составляющие 30-50% объема породы, представлены плагиоклазом и моноклинным пироксеном. Основная масса состоит из микролитов плагиоклаза и девитрифицированного стекла. Вторичные изменения пород заключаются в частичном замещении вкрашенников альбитом, серицитом, хлоритом и карбонатом. Основная масса участками полностью замещается агрегатом глинистых минералов и хлорита. По химическому составу андезитовые порфиры близки к средним типам андезитов по Р.Дэли, отличаясь повышенным содержанием магнезии и залежами железа вследствие значительных вторичных изменений (см.табл.I, ан.2).

Позднемеловой возраст описанных интрузивных образований обосновывается их активными контактами с верхнемеловыми отложениями, присутствием галек диабазов и андезитовых порфиров в конгломератах хулгунской свиты и залеганием на размытой поверхности отдельных тел угленосных отложений наланской свиты.

#### СРЕДНЕЭОЦЕНОВЫЕ СУБВУЛКАНИЧЕСКИЕ ТЕЛА

Магматические породы среднеэоценового возраста представлены андезитами ( $\alpha P_2$ ), которые слагают четыре субвулканических тела в нижнем течении р.Рассошины площадью от 0,1 до 3 км<sup>2</sup>.

Все они пространственно приурочены к полям развития осадочных образований ковачинской серии. Контактовые воздействия андезитов на вмещающие породы незначительны. Отложения ковачинской серии – обычно некрепкие серые породы, в зоне экзоконтакта, мощностью до 0,1-0,2 м, приобретают более темные оттенки и становятся более крепкими. Эндоконтактовые изменения андезитов затушевываются более поздними гидротермальными процессами каолинизации. Андезиты – желтовато-серые, плитчатые породы. Под микроскопом в них устанавливается порфировая структура с микролитовой основной массой. Вкрашенники представлены альбитизированным и каолинизированным плагиоклазом и, реже, полностью опацитизированной роговой обманкой. Основная масса, состоящая из микролитов плагиоклаза и девитрифицированного стекла, участками полностью превращена в микрозернистый агрегат каолинита, кварца и хлорита, со значительным (до 10%) количеством рудных минералов.

Возраст андезитов определяется на основании их взаимоотношения с вмещающими отложениями ковачинской серии. При изучении отдельных субвулканических тел в районе устья руч.Каньгиавампиль установлено, что андезиты имеют активные контакты с нижними горизонтами ковачинской серии и в то же время присводовые части наименее эродированных тел перекрываются более высокими ее горизонтами. Из последних собран комплекс фауны, который, по заключению В.М.Гладиковой, устанавливает верхнеэоценовый возраст вмещающих отложений. Приведенные данные определяют возраст субвулканических тел андезитов как позднеэоценовый.

#### ПЛИОЦЕНОВЫЕ СУБВУЛКАНИЧЕСКИЕ ТЕЛА И ДАЙКИ

Образования плиоценового возрастного комплекса наиболее распространены среди магматических пород района и представлены трахибазальтами, абсарокитами, селагитами, трахиандезитами, авгитовыми сиенитами и липаритами.

Наиболее распространены они в южной и северо-восточной частях района. Субвулканические интрузии образуют морфологически четко выраженные куполовидные возвышенности. Площади куполов в современном эрозионном срезе составляют от первых сотен квадратных метров до 2-3 км<sup>2</sup>. В отдельных случаях сближенные купола, сливаясь основаниями в единое поле, занимают значительные площади (г.Седло – 65 км<sup>2</sup>, г.Рассошины – 9 км<sup>2</sup>). Дайки, как правило, хорошо отпрепарированы и выражены в рельфе узкими грядами высотой до 10-15 м, которые нередко прослеживаются на 2-2,5 км. Мощность даек колеблется от первых до 30-40 м.

Трахибазальты ( $\tau\beta N_2$ ) слагают многочисленные субвулканические тела и дайки в южной половине района (бассейн рек Напаны, Рассошины, Лев.Пирожниковой) и на северо-востоке территории (Сопки Шадриновские, верховья руч.Ключик, бассейн р.Аманины). Контакты трахибазальтов с вмещающими отложениями крутые, резко выраженные. В зоне экзоконтакта шириной 20-25 см последние интенсивно трещиноваты. Трахибазальты в эндоконтакте более тонкокристаллические по сравнению с удаленными от контакта участками.

По структурно-текстурным особенностям выделяются две разновидности трахибазальтов – порфировидные и мегаплагиофиевые.

Порфировидные трахибазальты макроскопически темно-серые до черного цвета, массивные, мелкокристаллические породы с порфировидной структурой. Основная масса в тонкозернистых разностях микролитовая, реже пилотакситовая, а в более раскристаллизованных породах – интерсертальная и долеритовая. Вкрапленники, составляющие 10-30% объема породы, представлены оливином, моноклинным пироксеном (авгитом) и редко – плагиоклазом. Породы характеризуются следующим минеральным составом (в %): плагиоклаз – 45-55, моноклинный пироксен – 15-25, оливин – 15-20. Щелочность пород обусловлена переменным содержанием (5-15%) калиевого полевого шпата. Из акцессорных минералов в незначительных количествах (2-3%) постоянно присутствуют апатит и магнетит.

Мегаплагиофиевые трахибазальты внешне серые, массивные, с крупноглыбовой отдельностью породы, образующие при выветривании крупную дресву. Они характеризуются резко выраженной порфировой структурой, обусловленной крупными (до 2-2,5 см) удлиненно-призматическими выделениями плагиоклаза (# 65-70) на фоне тонкокристаллической основной массы. Реже вкрапленники представлены оливином и моноклинным пироксеном. Вкрапленники составляют 30-40% объема породы. Основная масса имеет интерсертальную структуру и состоит (в %) из плагиоклаза – 40-45, моноклинного пироксена – 15-20, оливина – 10-15 и калиевого полевого шпата – 10-15. Аксессорные минералы представлены апатитом – 1-2 и магнетитом – до 5.

Вторичные изменения трахибазальтов заключаются в частичной серицитизации и хлоритизации плагиоклаза, а также развитии минералов группы серпентина и хлорита по оливину.

Химический состав трахибазальтов характеризуется колебаниями кремнезема, глинозема и щелочей, что объясняется неоднородностью их минералогического состава. В целом, по химическому

составу и петрохимическим особенностям трахибазальты описывающей территории близки к среднему типовому составу трахибазальта, по Р.Дэли (см.табл. I, анализы 3-12). По классификации А.Н.Заварницкого, они относятся к щелочным породам, не насыщенным кремнеземом.

Абсарокиты ( $\tau\beta N_2$ ) распространены преимущественно в южной части района (бассейны рек Лев.Пирожниковой и Напаны). Единичные субвулканические тела абсарокитов установлены в верховьях р.Шадрина и среднем течении р.Аманины. Вмещающие породы на контакте с абсарокитами, в полосе шириной до 30 см, становятся более крепкими, имеют плитчатую отдельность, темнеют и иногда содержат вкрашенность пирита. В эндоконтактовой зоне, мощностью до 1 м, абсарокиты осветлены, мелкозернистые, интенсивно трещиноваты, карбонатизированы и окварцовены. По мере удаления от контакта абсарокиты постепенно темнеют и приобретают обычную для них массивную текстуру. Под микроскопом в них устанавливается порфировидная структура, обусловленная выделениями оливинса и пироксена в более мелкозернистой пироксен-полевошпатовой основной массе. Абсарокиты характеризуются следующим минеральным составом (в %): плагиоклаз (#65-70) – 20-35, калиевый полевой шпат – 15-35, оливин – 5-10, моноклинный пироксен (авгит) – 5-10, анальцим – 3-5 и биотит – от единичных выделений до 5. Из акцессорных минералов (3-5%) присутствуют апатит, ильменит и магнетит. Вторичные изменения абсарокитов аналогичны установленным для трахибазальтов. По химическому составу и петрохимическим особенностям (см.табл., анализы I3-I8) абсарокиты изученного района близки к среднему типовому составу абсарокита ( по Р.Дэли) и относятся к классу пород, слегка недосыщенных кремнеземом и бедных щелочами. Химическими анализами подтверждается высокое содержание щелочных минералов магнезиально-железистого ряда и калиевого полевого шпата, что обуславливает повышенную щелочность пород в целом.

Селагиты ( $\tau\beta N_2$ ) менее распространены по сравнению с вышеописанными разновидностями щелочных базальтоидных пород. Они слагают субвулканические тела и дайки в бассейнах рек Напаны, Лев.Пирожниковой и Аманиной. Контактовые воздействия селагитов на вмещающие породы аналогичны установленным для абсарокитов. Макроскопически селагиты – темно-серые, плотные породы, в которых на фоне мелкокристаллической основной массы наблюдаются многочисленные, часто субпараллельно ориентированные выделения биотита до 2-3 см по удлинению. Под микроскопом устанавливается порфировидная структура породы и микрогипидоморфно-

зернистая структура основной массы. Фемические минералы составляют 35-40% объема породы и представлены (в %) биотитом - 15-25, моноклинным пироксеном - 5-15 и оливином - 10-15. Салические минералы характеризуются следующими количественными соотношениями: калиевый полевой шпат - 45-50% и плагиоклаз (андезин) - 5-15%.

Аксессорные минералы представлены апатитом, сфеном и рудными минералами. Вторичные изменения селагитов заключаются в развитии минералов группы серпентина по оливину и хлоритизации моноклинного пироксена. Химическими анализами (см.табл. I, анализы 19-23) устанавливается типичное для селагитов преобладание калия над натрием. Состав их характеризуется колебаниями содержаний извести, магнезии и щелочей, что объясняется неоднородностью их минералогического состава, которая характерна для всей группы щелочных базальтоидных пород. В целом, селагиты описываемого района относятся к группе пород, не насыщенных кремнеземом, богатых щелочами и занимают промежуточное положение между абсарокитами и щелочными сиенитами.

Трахиандезиты ( $\tau\alpha N_2$ ) распространены исключительно в южной половине исследованной территории, где слагают как отдельные субвуликанические тела и дайки, так и крупные субвуликанические массивы (г.Седло, г.Рассошина). Контакты трахиандезитов с вмещающими отложениями крутые, четко выраженные и прямо-линейные. Экзоконтактовые изменения вмещающих пород выражаются в их интенсивной трещиноватости и обжиге в полосе мощностью 0,2-0,3 м. В зоне эндоконтакта трахиандезиты осветлены и карбонатизированы. Трахиандезиты - серые, грубоплитчатые, массивные породы, в которых на фоне тонкокристаллической основной массы наблюдаются выделения плагиоклаза и биотита. Они имеют порфировую структуру и микролитовую, реже пилотакситовую структуры основной массы. Фенокристаллы представлены плагиоклазом, моноклинным пироксеном, биотитом и редко - роговой обманкой, составляющими в сумме до 20% объема породы. Основная масса сложена плагиоклазом, пироксеном и рудным минералом с интерстициями, выполненными тонкозернистым агрегатом калишпата. Породообразующие минералы трахиандезитов находятся в следующих соотношениях (в %): плагиоклаз - 55-60, моноклинный пироксен (авгит) - 10-15, биотит - 5-15, калишпат - 5-10, роговая обманка - 2-5 и рудные минералы - 1-2. Состав плагиоклаза вкрапленников колеблется от основного лабрадора (центральные участки кристаллов) до основного андезина. Микролиты основной массы имеют состав основного олигоклаза - кислого андезина. Вторичные изменения пород незна-

чительны и выражаются в развитии серицита, хлорита и карбоната по плагиоклазу и темноцветным минералам. По химическому составу (см.табл. I, анализы 24-28) трахиандезиты относятся к группе пород, насыщенных кремнеземом, умеренно богатых щелочами, и занимают промежуточное положение между андезитом и трахиандезитом, по Р.Дэли.

Авгитовые сиениты ( $\xi N_2$ ) слагают единичные субвуликанические тела и дайки в бассейнах рек Напаны, Рассошины, Лев.Пирожниковой и Аманиной. Взаимоотношения их с вмещающими отложениями не наблюдались. Макроскопически авгитовые сиениты - серые, массивные, среднезернистые лейкократовые породы с пойкилитовой или призматическойвернистой структурой. Они состоят (в %): из калиевого полевого шпата - 70-80, биотита - 10-15, моноклинного пироксена - 5-15, анальцима - 3-5. Из акцессорных минералов в незначительных количествах (2-3%) присутствуют апатит, магнетит и ильменит. Химическими анализами (см.таблицу I, анализы 29-33) в авгитовых сиенитах устанавливаются колебания содержаний глинозема, магнезии и извести, что объясняется неоднородностью их минералогического состава, главным образом, количественного соотношения фемических минералов. Авгитовые сиениты описываемого района занимают промежуточное положение между щелочноземельным авгитовым сиенитом и щелочноземельным слюдяным сиенитом, по Р.Дэли.

Липариты ( $\lambda N_2$ ) имеют наименьшее распространение среди магматических образований и слагают три субвуликанических тела в северо-восточной части территории. Внешне липариты имеют желтовато-серую или светло-серую окраску, порфировую структуру и массивную, реже флюидальную текстуру. Вкрапленники, составляющие 10-20% объема породы, представлены калишпатом, олигоклазом и биотитом. Основная масса липаритов криптокристаллическая, кварц-калишпатового состава. Из акцессорных минералов присутствуют апатит, циркон и магнетит. Вторичные минералы представлены серицитом, хлоритом и кварцем.

Заключение о возрасте описанных магматических образований основано на следующих данных. Породы комплекса прорывают фаунтически охарактеризованные миоценовые отложения. По данным Н.Ф.Данилеско, на листе 0-57-XXXII щелочные базальтоиды прорывают покровы базальтов нижней части алнейской серии (миоцен-пилюцен) /16/. Кроме этого, среди туфов алнейской серии залегают потоки трахивазальтов, трахидолеритов, абсарокитов, комагматичные породы субвуликанических тел и даек. Данные абсолютного возраста, имеющиеся по соседним к востоку /15/ и юго-западу /16/

площадям для группы щелочных базальтоидных пород и сиенитов, колеблются от 6 до 12 млн. лет, что подтверждает плиоценовый возраст этих образований.

#### ЧЕТВЕРТИЧНЫЕ СУБВУЛКАНИЧЕСКИЕ ТЕЛА И ДАЙКИ

Магматические образования четвертичного возраста представлены базальтами ( $\beta Q$ ). Они слагают три значительных по площади субвулканических массива в районе тигильских "щек" ( $33 \text{ км}^2$ ), междуречий Щековской - Изменной ( $18 \text{ км}^2$ ) и Латаевой - Изменной ( $17 \text{ км}^2$ ). Кроме того, в этих же районах, а также на юге территории, базальты образуют несколько мелких (до  $2 \text{ км}^2$ ) субвулканических тел и единичные дайки.

Внешне базальты - темно-серые, зеленовато-серые, плотные, иногда пористые, порфировые, реже афанитовые породы. При микроскопическом изучении в них устанавливается порфировая, редко афировая структура. В порфировых разностях структура основной массы интерсертальная и пилотакситовая. Фенокристаллы, составляющие 10-20% объема породы, представлены плагиоклазом (% 60-65), оливином и моноклинным пироксеном (авгитом). Основная масса породы состоит (в %) из плагиоклаза - 60-70, моноклинного пироксена - 10-15, оливина - 2-3 и вулканического стекла - 5-10. Иногда присутствует незначительное количество (до 5%) калишпата, сферолиты кварца и тридимита. Из акцессорных минералов в количестве 3-5% постоянно содержатся апатит и магнетит. Вторичные минералы представлены цеолитами и карбонатом, выполняющими пустоты в пористых разностях.

По петрохимической классификации А.Н. Заварицкого, базальты описываемой площади относятся к породам слабо пересыщенным кремнеземом и по химическому составу близки к базальту, по Р.Дэли (см. таблицу, ан. 35).

Четвертичный возраст базальтов принят условно на основании их геологического положения и кайнотипного облика. Кроме того, на смежной к югу территории (лист 0-57-ХХУП) аналогичные по составу субвулканические тела и дайки безальтов прорывают вулканогенные образования нижнечетвертичного возраста /31/.

#### Гидротермально-измененные породы

Гидротермально-измененные породы на территории листа распространены весьма ограниченно. Они развиты на четырех изолированных участках, площади которых в современном эрозионном срезе не превышают  $1,5-2 \text{ км}^2$ .

44

Таблица I

№ п/п	Номер образца	SiO <sub>2</sub>	TiO <sub>2</sub>	Al <sub>2</sub> O <sub>3</sub>	Fe <sub>2</sub> O <sub>3</sub>	MnO	CaO	MgO	K <sub>2</sub> O	H <sub>2</sub> O <sup>+</sup>	P <sub>2</sub> O <sub>5</sub>	SO <sub>3</sub>	CO <sub>2</sub>	Сумма	I	II	III	IV
1	374-1	51,06	0,75	15,82	3,25	6,49	0,19	6,01	8,64	3,77	0,90	2,78	0,39	0,22	0,35	0,05	100,28	
2	1363	55,20	0,87	15,92	1,85	6,06	0,16	4,39	6,79	4,31	1,80	1,58	0,32	0,51	0,10	0,28	100,14	
3	382	48,18	1,49	16,96	4,45	5,88	0,14	7,90	8,02	2,02	1,50	0,91	1,78	0,45	n/o	0,51	100,19	
4	672	47,15	1,16	17,00	1,85	5,63	0,09	10,60	5,83	2,43	3,30	2,76	1,35	0,74	0,14	0,13	100,16	
5	757	55,54	1,04	13,25	3,04	3,38	0,10	5,44	6,56	3,03	4,50	0,71	2,12	1,04	0,16	0,01	99,92	
6	776	46,76	0,99	17,77	3,59	3,74	0,08	7,98	6,56	2,66	3,00	4,18	2,27	0,56	0,20	n/o	100,34	
7	777	46,88	0,99	17,18	3,22	4,43	0,09	7,70	6,56	2,66	3,00	4,08	2,41	0,63	0,18	0,05	100,06	
8	778	48,48	0,99	17,01	1,33	6,38	0,10	9,72	7,63	2,89	3,00	1,08	0,53	0,78	0,17	0,09	100,18	
9	782	49,14	0,96	17,06	2,07	5,72	0,10	9,31	7,07	2,89	3,00	1,25	0,55	0,78	0,12	0,07	100,09	
10	1520	50,77	0,82	15,16	3,45	4,22	0,09	8,71	7,01	2,66	2,40	2,39	1,62	0,72	0,15	0,07	100,24	
11	3065	53,16	1,62	11,95	4,45	2,97	0,13	7,90	4,99	2,02	5,04	1,60	2,95	1,05	0,07	0,02	99,94	
12	3149	47,88	1,16	15,98	3,30	3,89	0,14	7,78	6,95	3,03	2,70	4,35	1,51	0,77	0,42	0,26	100,12	
13	292-2	48,52	1,34	13,43	2,37	4,48	0,14	11,41	6,39	2,02	3,30	3,13	2,38	0,84	0,16	0,25	100,16	
14	304	48,80	1,55	12,52	3,27	4,24	0,14	10,76	6,56	1,79	3,30	2,91	3,55	0,44	0,04	0,05	99,92	
15	676-1	48,68	1,27	13,95	2,60	4,27	0,10	11,09	5,33	2,02	3,60	2,17	0,11	0,88	0,34	3,83	100,24	
16	761	47,32	0,96	17,10	2,71	5,10	0,10	10,04	7,12	1,98	2,40	3,18	1,48	0,56	0,10	0,09	100,24	
17	2032	49,84	1,46	14,80	5,20	3,30	0,14	6,49	5,72	2,70	4,50	3,20	1,83	0,82	0,09	0,02	100,11	

Химический состав магматических пород

	1	2	3	4	5	6	7	8	9	10	11	12	13	14	15	16	17	18
18	2038	47,26	1,13	15,43	3,45	4,80	0,16	9,07	6,79	2,70	2,60	3,77	1,06	0,75	0,96	0,05	99,98	
19	46	51,03	1,29	16,35	2,61	4,65	0,09	6,96	8,36	2,43	2,40	1,17	1,62	0,55	0,36	0,13	100,10	
20	105	53,49	1,12	16,66	4,12	2,44	0,06	4,03	7,35	2,21	4,32	1,05	2,12	0,94	0,07	0,05	100,03	
21	915	51,90	1,98	13,69	4,09	3,40	0,12	8,02	4,54	2,02	5,02	1,43	2,10	1,06	0,12	0,07	100,06	
22	979-7	54,62	1,22	13,13	5,51	2,37	0,08	5,44	6,51	1,69	6,00	0,62	1,66	1,10	0,07	0,02	100,04	
23	1047	54,73	0,80	15,11	4,63	2,15	0,11	4,64	5,78	2,66	4,32	1,33	2,78	0,83	0,08	0,02	99,97	
24	158-4	59,90	0,88	15,79	2,92	2,30	0,05	3,06	5,83	3,71	4,50	0,42	0,83	0,73	0,01	0,01	99,94	
25	690-1	52,98	0,98	18,42	3,93	3,11	0,09	3,95	6,00	2,66	3,84	1,34	1,68	0,76	0,12	0,05	99,91	
26	762	54,36	0,95	17,46	4,43	1,58	0,06	4,11	4,60	2,43	4,32	2,13	2,68	0,76	0,18	0,05	100,10	
27	766	55,88	0,74	18,74	3,21	2,29	0,07	3,27	6,00	2,89	2,70	1,21	2,06	0,55	0,06	0,02	99,69	
28	767	54,98	0,73	18,60	4,40	2,19	0,07	3,10	5,61	2,89	3,00	1,54	2,21	0,54	0,20	0,02	100,08	
29	780	54,74	0,74	17,57	3,62	1,67	0,03	4,60	4,88	3,56	3,60	1,40	3,07	0,52	0,07	0,09	100,16	
30	1508	53,85	0,82	16,55	4,21	1,39	0,12	4,76	6,28	3,10	3,30	1,30	3,00	0,52	0,12	0,56	99,88	
31	1513	53,36	1,02	17,45	5,00	1,00	0,03	2,54	4,54	2,89	4,08	2,66	4,57	0,78	0,07	0,09	100,08	
32	1515	52,91	0,94	16,66	4,96	1,72	0,08	4,80	6,56	2,43	3,84	1,56	2,68	0,83	0,02	0,05	100,04	
33	3063	53,82	1,13	15,63	4,86	1,81	0,12	5,00	5,61	3,37	3,90	1,52	2,43	0,57	0,01	0,05	99,83	
34	34	54,30	1,23	17,53	3,71	3,48	0,10	3,55	6,41	3,71	1,50	0,40	1,32	0,40	0,05	0/0	99,69	

Числовые характеристики по А.Н.Заваричному

# п/п	Номер образца	a	c	b	s	a'	f'	π	c'	n	φ	t	Q	a/c
1	2	3	4	5	6	7	8	9	10	11	12	13	14	15
1	374-1	9,1	6,4	23,7	60,8	-	39,7	44,5	15,8	84,3	12,3	1,3	-3,0	1,4
2	1363	10,2	4,9	17,7	67,2	-	40,7	41,2	18,1	94,2	8,4	0,9	9,1	2,0
3	382	10,2	5,6	24,6	59,6	-	45,0	57,9	7,1	66,6	1,6	2,1	-3,0	1,8
4	672	9,8	6,8	26,3	57,1	-	27,1	69,0	3,9	52,7	6,1	1,8	-12,2	1,4
5	757	13,0	2,3	22,7	62,0	-	28,3	44,4	27,3	50,0	15,4	1,4	-4,3	5,6
6	776	12,0	6,4	23,0	58,6	-	31,5	63,1	5,4	57,3	14,4	1,1	-13,2	1,9
7	777	10,1	7,0	23,3	59,6	-	32,5	60,2	7,3	57,2	12,4	3,7	-8,0	1,4
8	778	10,8	6,0	27,0	56,2	-	25,8	61,1	12,1	59,1	4,0	1,4	-15,2	1,8
9	782	10,9	6,1	25,8	57,2	-	30,5	59,7	9,8	59,8	6,9	1,5	-13,5	1,8
10	1520	9,8	4,3	24,9	61,0	-	39,0	61,1	9,9	73,9	12,2	1,2	-1,9	2,2
11	3065	11,7	2,1	24,0	62,2	-	31,0	52,8	16,2	57,4	15,6	2,2	1,1	5,6
12	3149	11,2	5,8	24,2	58,8	-	29,2	57,7	13,1	62,3	12,5	1,8	-10,6	1,9
13	292-2	9,3	2,0	31,7	57,0	-	20,1	61,5	18,4	48,0	6,6	2,0	-6,6	4,6
14	304	8,8	5,4	28,2	57,6	-	25,4	65,6	9,6	45,2	10,0	2,3	-7,8	1,6
15	676-1	9,8	4,6	28,8	56,8	-	27,5	71,2	7,3	45,0	7,1	1,1	-10,6	2,1
16	761	8,2	8,0	26,5	57,3	-	28,4	67,5	4,1	56,1	9,2	1,5	-9,8	1,0
17	2032	11,0	3,8	27,0	58,2	-	35,9	49,0	15,1	47,7	20,4	2,2	-9,4	2,8

1	2	3	4	5	6	7	8	9	10	II	II	12	13	14	15
18	2038	10,3	5,7	27,0	57,0	-	27,7	51,9	20,4	61,1	10,2	1,7	-12,3	1,9	
19	46	9,2	6,9	22,1	61,8	-	26,1	56,9	17,0	50,9	10,5	1,9	-1,7	1,3	
20	105	11,8	6,0	19,0	63,2	-	32,2	42,7	25,1	43,2	23,8	1,5	-4,2	2,0	
21	915	12,5	3,0	22,2	62,3	-	32,9	56,1	11,0	35,5	15,5	2,8	-3,4	4,1	
22	979-7	12,6	2,5	21,7	43,2	-	32,6	42,4	25,0	29,9	21,0	1,2	-21,3	5,0	
23	1047	12,7	4,1	17,6	65,6	-	27,8	46,3	15,9	46,2	23,4	0,9	1,7	3,0	
24	158-4	14,7	3,2	13,8	68,3	-	34,0	38,0	28,0	55,5	18,0	1,0	4,0	4,6	
25	690/1	12,2	7,0	14,9	65,9	-	46,0	49,0	5,0	51,5	24,0	1,3	0,4	1,7	
26	762	12,6	6,0	13,5	67,9	4,9	39,1	56,0	-	44,3	30,7	1,2	4,6	2,1	
27	766	13,2	7,5	11,7	67,6	-	40,3	56,6	3,1	61,8	25,1	0,9	4,3	1,7	
28	767	11,6	7,4	13,3	67,7	4,6	50,3	45,1	-	59,4	32,3	0,9	4,8	1,6	
29	780	13,6	5,4	14,0	67,0	-	36,9	58,5	4,6	60,0	23,9	0,9	1,4	2,5	
30	1508	12,2	5,9	16,3	65,6	-	32,3	52,6	15,1	58,9	23,2	1,0	1,9	2,1	
31	1513	13,9	1,0	16,9	68,2	-	35,1	28,6	36,3	51,5	28,1	1,4	7,6	13,9	
32	1515	15,7	3,4	18,9	62,0	-	32,1	43,7	24,2	63,3	22,4	1,2	-10,8	4,6	
33	3063	13,5	4,0	18,0	64,5	-	34,0	49,0	17,0	57,0	23,7	1,5	-2,0	3,4	
34	34	10,8	6,8	16,7	65,7	-	40,0	37,2	22,8	78,0	19,4	1,6	3,0	1,6	

**П р и м е ч а н и е:** I. Ландшафтный комплекс (1-2), плиоценовый – (3-34), четвертичный (34).

Диабазы 1) 57°41'40" с.ш. - 158°32'20" в.д.; андезитовые порфириты 2) 57°44'30" с.ш. - 158°24'30" в.д.; трахибазальты (3-12), 3) 57°47'20" с.ш. - 158°33'25" в.д.; 4) 57°24'20" с.ш. - 158°42'30" в.д., 5) 57°28'45" с.ш. - 158°51'20" в.д., 6) 57°24'20" с.ш. - 158°06'30" в.д., 7) 57°24'10" с.ш. - 158°06'10" в.д., 8) 57°28'00" с.ш. - 158°03'20" в.д., 9) 57°26'40" с.ш. - 158°10'15" в.д., 10) 57°30'20" с.ш. - 158°32'10" в.д., II) 57°35'15" с.ш. - 158°14'30" в.д., 12) 57°28'45" с.ш. - 158°12'20" в.д., абсарокиты (13-18), 13) 57°48'20" с.ш. - 158°59'10" в.д., 14) 57°52'30" с.ш. - 157°58'10" в.д., 15) 57°24'20" с.ш. - 158°40'30" в.д., 16) 57°24'50" с.ш. - 158°38'15" в.д., 17) 57°34'35" с.ш. - 158°26'00" в.д., 18) 57°32'20" с.ш. - 158°27'10" в.д.; селагиты (19-23), 19) 57°28'20" с.ш. - 158°47'20" в.д., 20) 57°23'20" с.ш. - 158°42'20" в.д., 21) 57°48'50" с.ш. - 158°52'15" в.д., 22) 57°50'50" с.ш. - 157°33'45" в.д., 23) 57°26'55" с.ш. - 158°43'15" в.д.; трахиандезиты (24-28), 24) 57°23'10" с.ш. - 158°20'30" в.д., 25) 57°20'25" с.ш. - 158°46'50" в.д., 26) 57°20'40" с.ш. - 158°32'10" в.д., 27) 57°22'30" с.ш. - 158°33'00" в.д., 28) 57°21'30" с.ш. - 158°33'50" в.д.; авгитовые скелиты (29-33), 29) 57°27'30" с.ш. - 158°05'25" в.д., 30) 57°29'40" с.ш. - 158°34'30" в.д., 31) 57°29'30" с.ш. - 158°35'50" в.д., 32) 57°28'10" с.ш. - 158°32'20" в.д., 33) 57°33'10" с.ш. - 158°15'50" в.д.; базальты (35), 34) 57°35'50" с.ш. - 158°47'20" в.д.

П. Анализ выполнен в Центральной лаборатории КГТУ А.Н.Ильиных (3,4-6-14,16,17,19-21,23, 25-33), М.И.Яценко (5,15,24,34), Г.В.Борзиной (1,2,18,22).

Зоны измененных пород приурочены к тектоническим нарушениям и имеют, как правило, согласную с ними линейную ориентировку, причем наиболее интенсивно измененные породы наблюдаются в местах пересечения разломов различных направлений.

В верховье руч. Промежуточного выявлен участок гидротермального изменения, связанный с тектоническим нарушением северо-восточного направления и более мелкими оперяющими трещинами. Гидротермальному преобразованию подверглись терригенные породы майначской свиты верхнемелового возраста. Мощность зоны измененных пород не превышает 45-50 м. В центральной ее части, мощностью до 10 м, образования майначской свиты интенсивно катализированы, каолинизированы, окварцовены и погружены в землистую лимонитизированную каолиновую массу. В пределах этой части зоны гидротермального изменения наблюдается интенсивное кварц-карбонатное прожилкование с сульфидной минерализацией (пирит, халькопирит, галенит, сфalerит и редко - киноварь). По мере удаления от центральной части зоны интенсивность гидротермального изменения постепенно уменьшается и через 20-25 м породы приобретают обычный для них облик.

Следующий участок гидротермально-измененных пород расположен в верховьях руч. Каньги-вампиль. Гидротермальному изменению подверглись трахиандезиты, слагающие крупный субвуликанический массив г. Седло плиоценового возраста. Зона измененных пород, протяженностью около двух километров и мощностью до 15 м, приурочена к разлому субширотного простирания. В ее пределах трахиандезиты брекчированы, каолинизированы, а в центральной части, мощностью около 3,5 м - превращены в землистую каолиновую массу белой и синевато-бурой окраски. Гидротермальные изменения трахиандезитов выражаются в альбитизации и каолинизации плагиоклаза, опацитизации и хлоритизации фемических минералов вкрапленников. Основная масса пород замечается каолином, хлоритом и карбонатом, гидроокислами железа. Многочисленные трещины, обуславливающие брекчевидную текстуру породы, выполнены гидроокислами железа, редко киноварью.

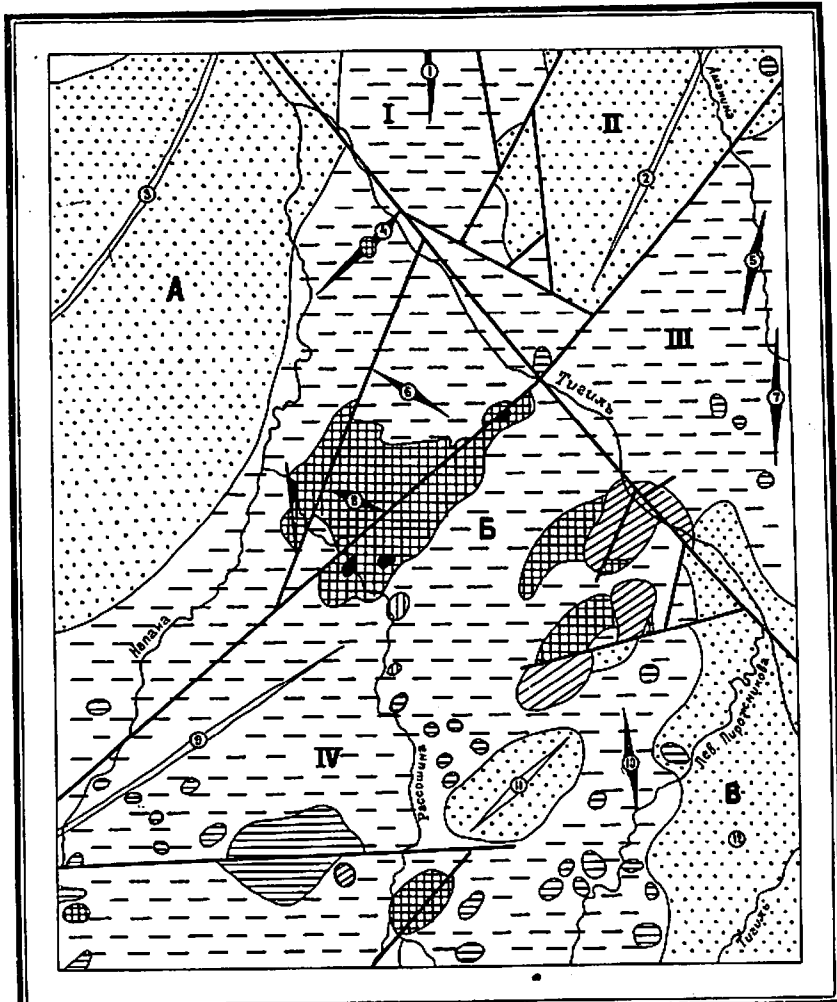
Третий участок измененных пород, площадью около 2 км<sup>2</sup>, выявлен у с. Тигиль, где гидротермальному изменению подверглись трахиандезиты, слагающие субвуликаническое тело г. Красной. Гидротермальные изменения приурочены к участку пересечения двух крупных тектонических нарушений северо-западного и северо-восточного направлений, а также более мелких оперяющих трещин. Они разбивают субвуликаническое тело на ряд тектонических блоков, в пределах которых породы интенсивно катализированы и изменены.

Наиболее интенсивно гидротермальные преобразования развиты в непосредственной близости от тектонических нарушений. В центральных же частях отдельных блоков породы сохраняют свой первоначальный облик. Обломки и глыбы измененных трахиандезитов заключены в глиноподобную массу, пропитанную гидроокислами железа. Наблюдаются многочисленные прожилки и гнезда, сложенные кварцем, карбонатом с сульфидной минерализацией. Гидротермальные изменения трахиандезитов заключаются в альбитизации и каолинизации плагиоклаза, хлоритизации и эпидотизации темноцветных минералов вкрапленников. Основная масса пород участками полностью замещается вторичными минералами - кварцем, хлоритом, каолинитом и гидроокислами железа.

В районе тигильских "щек" гидротермально изменены базальты, слагающие субвуликаническое тело четвертичного возраста. Измененные породы приурочены к зоне интенсивной трещиноватости, фиксирующей разлом северо-западного направления, который трассируется по долине р. Тигиль. Измененные базальты прослеживаются на протяжении около 4 км в цоколе I надпойменной террасы. Базальты - обычно плотные, массивные темно-серые породы, в зоне гидротермального изменения трещиноваты, участками брекчированы и приобретают зеленовато-бурую окраску. Трещины мощностью от 2-3 мм до 10 см выполнены кварцем и карбонатом с пиритом. Реже встречаются гнезда размером до 20-25 см в поперечнике, выполненные кристаллическим кварцем и карбонатом. При микроскопическом изучении базальтов устанавливается развитие хлорита, карбоната и гидроокислов железа по основной массе, повышенное (до 15%) содержание рудных минералов. Вкрапленники плагиоклаза частично альбитизированы и серицитизированы, оливин замещен глинистыми минералами, хлоритом и карбонатом.

## ТЕКТОНИКА

Площадь листа располагается в пределах Западно-Камчатского прогиба. Она разделяется на Тигильский антиклиниорий (Б), Утхолокский (А) и Паланский (В) синклиниории (рис.1). В пределах Тигильского антиклиниория, занимающего большую часть площади, выделяются Хромовская (I), Ваямпольская (Ш), Напанская (ИУ) антиклинальные и Этолонская (П) синклинальная зона. На гравиметрической карте выделенные тектонические элементы довольно четко различаются аномалиями разной интенсивности (рис.2). Синклинальным структурам соответствуют отрицательные значения силы тяжести, а антиклинальным - положительные. Исключением является



km 5 0 5 10 15 km



Рис. I. Тектоническая схема

1 - верхнемеловой структурный ярус; 2 - палеоген-среднемиоценовый структурный ярус; 3 - средне-верхнемиоценовый структурный ярус; 4 - позднемеловые интрузии; 5 - позднемиоценовые-плиоценовые субвулканические тела; 6 - позднемиоцен-плиоценовые субвулканические тела; 7 - четвертичные субвулканические тела; 8 - оси антиклиналей; 9 - оси синклиналей; 10 - тектонические контакты; 11 - границы структурных ярусов. Буквами и цифрами на схеме обозначены: А - Утжеловский синклинорий; Б - Тигальский антиклинальный зона; В - Наланский синклинальная зона; I - Хромовская антиклинальная зона; II - Этalonская синклинальная зона; III - Баймпольская антиклинальная зона; IV - Наланская антиклинальная зона. Антиклинали: I - Гаванская; 4 - Чехановская; 5 - Средне-Аманинская; 6 - Мейнуктская; 7 - Тыльзевская; 8 - Байдарская; 10 - Круглогорская. Синклинали: 2 - Кипинская; 3 - Чернореченская; 9 - Згильгинитопская; II - Тыльельская; 12 - Калгаучская

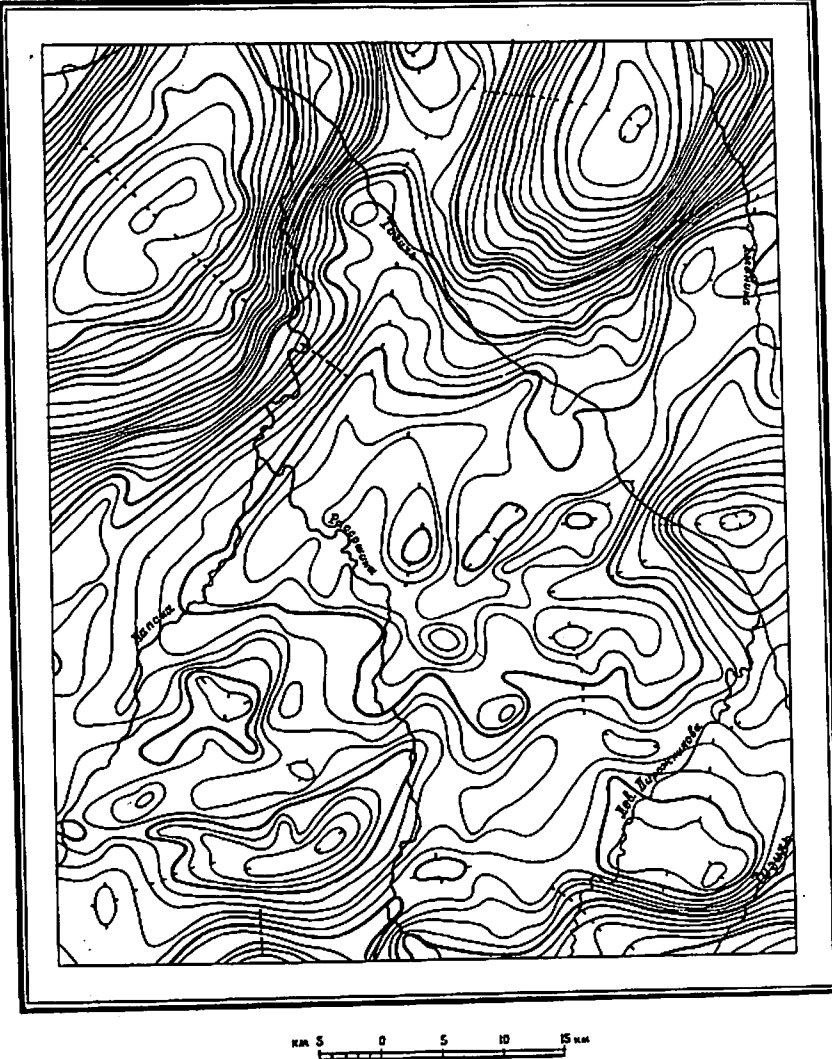


Рис.2. Схема аномалий силы тяжести

54

район - г.Седло, где отрицательная аномалия силы тяжести в плане совпадает с субвулканическим массивом трахиандезитов. По данным аэромагнитной съемки для площади в целом характерно спокойное слабоотрицательное магнитное поле и лишь местам развития субвулканических интрузий соответствуют положительные магнитные поля интенсивностью 200-300 г (рис.3).

В тектоническом строении площади принимают участие образования трех структурных ярусов: верхнемелового, палеоген-среднемиоценового и средне-верхнемиоценового, разделенных угловыми несогласиями.

Наиболее древние образования майначской и ирунейской свит, слагающие в верхнемеловой структурный ярус, развиты в пределах Напанской антиклинальной зоны. В бассейне нижнего течения р.Рассошины верхнемеловые образования слагают Байдарскую (8) антиклинальную структуру, ядро которой сложено терригенными отложениями майначской, а крылья - вулканогенно-кремнистыми образованиями ирунейской свиты. Структура имеет близкую к изометричной форме в плане, несколько вытянуту в северо-западном направлении. Размеры структуры по кровле майначской свиты составляет 9x7 км. Углы падения пород на крыльях достигают 30-40°. Восточное и западное ее окончания осложнены разломами северо-восточного простирания, а северо-восточное крыло - небольшими антиклинальными и синклинальными складками субширотного простирания. Другие выходы образований верхнемелового структурного яруса расположены в бассейнах рек Латаевой, Изменной, Рассошины и Ванекьявам, где они смыты в небольшие узкие складки преимущественно северо-восточного простирания с углами падения пород на крыльях до 30-40°.

Палеоген-среднемиоценовый структурный ярус сложен осадочными отложениями тигильской, ковачинской и ваямпольской серий. Породы этого яруса трансгрессивно с угловым несогласием разными горизонтами залегают на верхнемеловых образованиях.

В пределах Напанской антиклинальной зоны выделяются Мейнуктская, Круглогорская, Чекановская антиклинали и Эгильнитопская синклиналь. В Ваямпольской антиклинальной зоне выявлены Тыльвэевская и Средне-Аманинская антиклинали.

В Хромовской антиклинальной зоне, в пределах площади, располагается только южная часть Гавансской антиклинали.

Мейнуктская (6) антиклиналь расположена в бассейне р.Половинки. Она имеет северо-западное простирание и сложена образованиями тигильской серии. Длина структуры по кровле хулгунской сви-

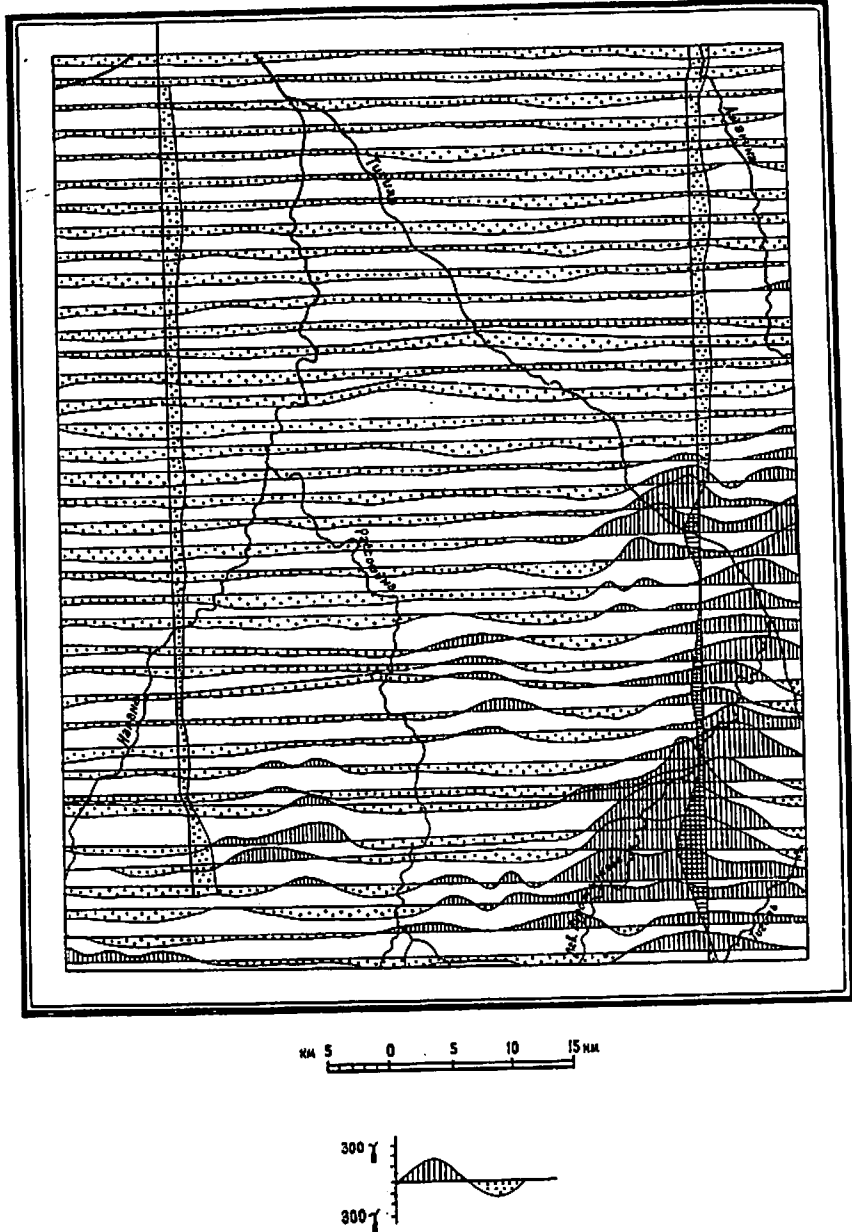


Рис.3. Схема графиков  $\Delta$  Та

ты 2 км, ширина около 1 км. Юго-западное крыло сложено породами напанской свиты, северо-восточное - напанской, снатольской свиты и ковачинской серии. Углы падения пород на крыльях составляют 15-20°. Присводовая часть и северо-западная периклиналь осложнены тектоническими нарушениями.

В бассейне реки Лев.Пирожниковой, северо-восточнее г.Круглой, выявлена Круглогорская (10) антиклинальная структура субмеридионального простириания. Она сложена породами гакхинской свиты. Длина структуры 8 км, ширина - 2,5 км. Углы падения пород на крыльях составляют 10-15°. В присводовой части структура осложнена двумя субвулканическими телами.

Чекановская (4) антиклинальная структура расположена в междуречье Тигиль - Напана, в 16 км севернее с.Седанка Кочевая. В ядре структуры обнажаются терригенные образования майначской свиты, занимающие небольшую площадь (1,6x1 км), несогласно перекрывающиеся отложениями ковачинской серии. В строении крыльев структуры принимают участие также отложения гакхинской свиты. Углы падения пород на крыльях не превышают 20°. Северо-восточная периклиналь структуры ограничена разломом северо-западного простириания.

В междуречье Напана - Рассосина расположена Эгильтитнольская (9) синклиналь северо-восточного простириания. Сложена она образованиями гакхинской свиты. Южное окончание синклинали уходит за пределы площади. Длина структуры, на территории листа, составляет 31 км, ширина около 8 км. Углы падения пород на крыльях не превышают 15-20°. Северо-западное крыло синклинали осложнено разломом северо-восточного простириания, с которым связано, вероятно, образование небольших антиклинальных и синклинальных перегибов, осложняющих северо-западное крыло и центральную часть синклинали.

В пределах Ваямпольской антиклинальной зоны, в бассейне р.Аманиной, выявлены две кулисообразно расположенные антиклинальные структуры субмеридионального простириания. Обе структуры - Тыльвэевская (7) и Средне-Аманинская (5) - сложены в присводовых частях образованиями ковачинской серии, а на крыльях - гакхинской свиты. Тыльвэевская антиклинальная структура по кровле ковачинской серии имеет длину около 10 км, ширину, в пределах площади - 3,2 км. Восточнее ее крыло располагается на соседней к востоку территории. По кровле отложений ковачинской серии длина Средне-Аманинской антиклинальной структуры составляет 6 км, ширина около 3 км. Обе структуры имеют симметричное строе-

ние, падение пород на крыльях составляет  $10-15^{\circ}$ . Присводовые части этих структур осложнены субвуликаническими интрузиями.

Хромовская антиклинальная зона представлена в пределах площади южной частью Гаванской (I) антиклинальной структуры, которая расположена в бассейне одноименной реки. В своде структуры выходят отложения синатольской свиты. Южная периклиналь и крылья сложены отложениями ковачинской, ваямпольской и кавранской серий. Падение пород на крыльях составляют  $15-20^{\circ}$ . Максимальная ширина структуры по кровле отложений ковачинской серии составляет около 6 км. Восточное крыло осложнено тектоническими нарушениями субмеридионального и северо-восточного направлений.

Средне-верхнемиоценовый структурный ярус образован терригennыми отложениями кавранской серии, которые трансгрессивно с угловым несогласием залегают на более древних образованиях палеоген-среднемиоценового структурного яруса. Они разделяются на два подъяруса: нижний и верхний. Нижний подъярус объединяет отложения ильинской и какертской свит, верхний – этолонской и эрмановской. Угловое несогласие между отложениями, слагающими подъярусы, отчетливо выражено в юго-восточной части площади, где отложения этолонской свиты трансгрессивно залегают на образованиях ваямпольской серии. В центральных частях Утхолокского синклиниория и Этолонской синклинальной зоны угловое несогласие выражено слабо.

Утхолокский и Паланский синклиниории, Этолонская синклинальная зона и Тыльельская синклиналь сложены отложениями средне-верхнемиоценового структурного яруса.

Утхолокский синклиниорий, охватывающий северо-западную часть площади, представлен Чернореченской синклиналью (3), центриклинальные замыкания которой располагаются за пределами площади. Ядро синклинали сложено породами этолонской и эрмановской свит, а крылья – ильинской и какертской. Углы падения пород на крыльях не превышают  $5-10^{\circ}$ . Синклиналь представляет собой асимметричную складку север-северо-восточного простирания с относительно более крутым юго-восточным крылом. Ширина ее по подошве этолонской свиты составляет около 18 км, длина в пределах площади – 25 км. Почти на всей площади синклинали проведены сейсморазведочные работы /22/, по материалам которых составлены структурные схемы по двум условным сейсмическим горизонтам. Между этими горизонтами четко устанавливается несовпадение структурных планов. Максимальные отметки глубины залегания второго условного сейсмического горизонта достигают 3600 м, первому – 1200 м. Второму условному

сейсмическому горизонту, очевидно, соответствует геологическая граница между меловыми и палеогеновыми образованиями, а первому – подошва средне-верхнемиоценовых отложений кавранской серии.

В Этолонской синклинальной зоне в пределах площади выделяется Кипинская (2) синклиналь, расположенная в бассейне одноименной реки. Она сложена отложениями кавранской серии и имеет северо-восточное простирание. Синклиналь асимметричная с более крутым юго-восточным крылом ( $20^{\circ}$ ) и относительно пологим ( $10-15^{\circ}$ ) северо-западным. Ширина синклинали по подошве этолонской свиты около 16 км, длина в пределах площади – 22 км. Крылья синклинали и юго-западная центриклиналь осложнены тектоническими нарушениями северо-восточного и субмеридионального простираций.

Паланский антиклиниорий занимает сравнительно небольшую площадь на юго-востоке территории и представлен западным крылом Калгаучской (12) синклинали. Оно сложено образованиями кавранской серии, полого погружающимися ( $10^{\circ}$ ) к востоку.

Отложения средне-верхнемиоценового структурного яруса в пределах Напанской антиклинальной зоны слагают в бассейне р. Лев. Пирожниковой Тыльельскую (II) синклиналь. Она сложена образованиями этолонской свиты и имеет северо-восточное простирание. Синклиналь симметричная, углы падения пород на крыльях не превышают  $15^{\circ}$ . Длина ее по подошве отложений этолонской свиты – 13 км, ширина – 7 км.

#### Разрывные нарушения

На изученной площади сравнительно широко развиты разрывные нарушения северо-восточного, северо-западного, субширотного и субмеридионального простираций. В основном, это взбросовые разломы с крутопадающими, почти вертикальными плоскостями смещения. Большинство разломов подтверждаются геофизическими данными, а часть устанавливается лишь геологическими наблюдениями.

Большая роль в тектоническом строении района принадлежит двум основным, наиболее протяженным разломам. Первый из них пересекает площадь с юго-запада на северо-восток, второй с юго-востока на северо-запад. К последнему разлому приурочена долина р. Тигиль. Амплитуды смещения по ним довольно значительны и на отдельных участках составляют 500–600 м. Менее протяженные (определяющие) разломы имеют амплитуды смещения 100–200 м.

Более мелкие нарушения с амплитудами смещения 10–20 м развиты в присводовых частях антиклинальных структур, сложенных верхнемеловыми и палеогеновыми образованиями.

## Краткая история геологического развития района

История геологического развития района восстанавливается с позднемелового времени, когда в геосинклинальных условиях происходило накопление относительно глубоководных песчано-глинистых пород майначской свиты омгонской серии. В течение кампанского времени на смежных площадях происходит интенсивная вулканическая деятельность, которая приводит к формированию вулканогенно-кремнистых образований ирунейской свиты.

На границе верхнего мела и палеогена произошли складкообразовательные процессы (камчатская фаза складчатости), сопровождавшиеся заложением основных структур района и формированием интрузий диабазов и андезитов порфириотов. При установленвшемся континентальном режиме верхнемеловые образования подверглись интенсивному размыву. В палеоцене район испытывает медленное опускание. Наиболее пониженные участки суши занимают мелководные морские заливы, в которых накапливаются осадки хулгунской свиты. В раннем эоцене на общем фоне медленного опускания района происходили частые колебательные движения. Море на сравнительно небольшие по времени периоды отступало, и на обширных заболоченных пространствах происходило накопление органического вещества, которое явилось основой для образования углей напанской свиты. В среднем эоцене в значительно расширившемся морском бассейне накапливались песчано-глинистые отложения снатольской свиты тигильской серии. На границе среднего и верхнего эоцена образовалось кратковременное незначительное поднятие района. В центральной части площади незначительному размыву подверглись отложения снатольской свиты. В позднеоценовое время район испытывает общее опускание. За этот период отмечено накопление, в основном, глубоководных морских, преимущественно глинистых образований ковачинской серии. В конце позднего эоцена в центральной части района произошло внедрение субвулканических интрузий андезитов.

На границе эоцена и олигоцена проявилась курильская фаза складчатости, с которой связано образование мелководного моря в юго-восточной части района, где происходило накопление туфопесчаников гакхинской свиты. На остальной территории в гакхинское время существовал сравнительно глубоководный морской бассейн, в котором отлагались туфогенно-глинистые осадки. Обилие туфогенного материала в отложениях свидетельствует об интенсивной вул-

канической деятельности, проявившейся на смежной к востоку территории. В нижнем миоцене установлено новое обмеление морского бассейна, в котором происходило накопление, преимущественно, песчаных отложений утхолокской свиты. Последующее расширение и углубление морского бассейна привело к накоплению туфогенно-кремнистых осадков вивентекской свиты. Конец нижнего и начало среднего миоцена знаменуются общей регрессией моря, что способствовало образованию преимущественно туфогенно-песчаных осадков кулувенской свиты. В среднемиоценовое время, в связи с проявлением алеутской фазы складчатости, произошло отступление моря и в районе установленся континентальный режим. К этому времени приурочено обновление старых и заложение новых разломов, а также формирование основных структурных элементов района, которые в дальнейшем претерпели незначительные изменения. Последовавшая в среднем миоцене новая трансгрессия моря охватила северную и западную части площади, где в условиях мелководного морского бассейна накапливались сначала преимущественно песчаные осадки ильинской свиты, а затем более глубоководные туфогенные отложения какертской свиты.

В результате татарской фазы складчатости, проявившейся на границе среднего и верхнего миоцена, дэтолонские образования были слабо дислоцированы. В верхнем миоцене, в результате нового опускания района, этолонское море покрыло почти всю территорию. В мелководных условиях происходило накопление, в основном, песчаных отложений этолонской свиты. В позднем миоцене морской бассейн мелеет, периодически район освобождается от моря и обширные площади превращаются в заболоченные низменности, где накапливались мощные толщи торфов, явившиеся исходным материалом для образования бурых углей эрмановской свиты. В плиоценовое время произошло внедрение и образование субвулканических тел и даек трахибазальтов, абсарокитов, селагитов, трахиандезитов, авгиевых сиенитов и липаритов.

В результате сахалинской фазы складчатости, проявившейся на границе плиоценового и четвертичного времени, происходит частичное обновление тектонических разломов, внедрение субвулканических тел и даек базальтов. Район испытывает общее поднятие и вступает в континентальную fazu развития. На протяжении всего четвертичного периода, наряду с размывом дочетвертичных образований, накапливались водно-ледниковые, аллювиальные и торфяно-болотные отложения.

## ГЕОМОРФОЛОГИЯ

Рельеф описываемой территории сформировался в результате взаимодействия различных по характеру и значимости факторов в определенной геологической и физико-географической обстановке. Наиболее важными из них являлись магматическая деятельность, комплексная денудация с преобладанием плоскостного смыва, речная эрозия и аккумуляция, водно-ледниковая аккумуляция и морская абразия. В зависимости от геологического строения и преобладания тех или иных факторов во времени и пространстве на площа-ди листа выделены следующие генетические поверхности рельефа: вулканогенные, выработанные и аккумулятивные (рис.4).

К вулканогенным поверхностям рельефа отнесены куполовидные возвышенности, созданные субвулканической деятельностью в палеогене, плиоцене и плейстоцен-голоцене. Наиболее крупные субвулканические массивы в различной степени эродированы, а более мелкие сохранили свой первоначальный облик. Магматические породы, разнообразные по составу, устойчивы к процессам денудации. Препарировка этих тел продолжается до настоящего времени.

Рельеф, образованный наиболее крупными субвулканическими массивами плиоценового и четвертичного возраста, имеет облик расщепленного низкогорья. Залесенные водоразделы имеют пологовыпуклую форму с уплощенными вершинами. Абсолютные отметки последних изменяются от 140 до 450 м, а относительные превышения над днищами долин достигают 250 м. Склоны водоразделов, крутизна которых в редких случаях превышает 20°, закрыты бересковыми лесами и кедровым стлаником, эродированы сетью мелких ручьев и распадков.

Более мелкие субвулканические тела имеют эллипсоидальную или округлую форму в плане, заросшую, как правило, кедровым стлаником заостренную вершину. Склоны различной крутизны, но не превышают 30–40°. Абсолютные отметки большинства куполовидных возвышенностей составляют 150–200 и редко достигают 350–400 м. Относительные превышения над окружающей местностью колеблются от первых десятков до 200–250 м. Наиболее многочисленны субвулканические тела плиоценового возраста. По морфологическим признакам они отличаются от четвертичных несколько большей эродированностью склонов. Единичные тела палеогенового возраста, встречающиеся в среднем течении р. Рассошины, по характеру рельефа не отличаются от плиоценовых.

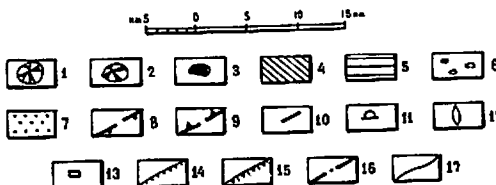
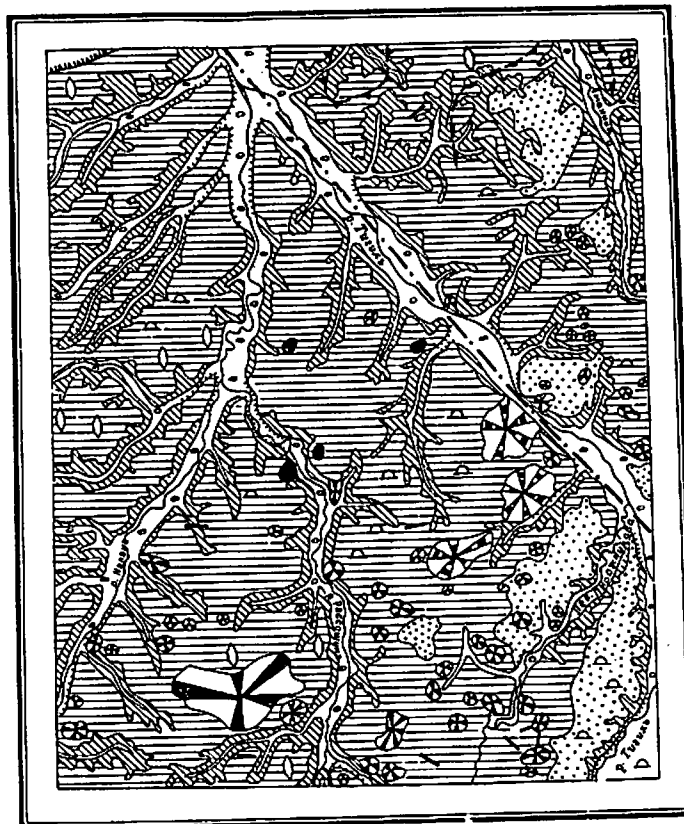


Рис.4. Геоморфологическая схема

Куполовидные возвышенности, сформированные в: 1 – плейстоцен-голоцене; 2 – палеоген-плиоцен-голоцене; 3 – верхнем мелу – голоцене; 4 – склоны речных долин плейстоцен-голоценового возраста; 5 – холмисто-увалистая поверхность выравнивания плиоцен-верхнеплейстоценового возраста; 6 – аллювиальные равнины верхне-плиоцен-голоценового возраста; 7 – пологовсхолмленная флювиогляциальная равнина первой стадии верхнеплейстоценового следования; 8 – поверхности, предопределенные препарировкой элементов синклинальных структур; 9 – поверхности, предопределенные препарировкой элементов антиклинальных структур; 10 – отпрепарированные дайки; 11 – бугры пучения; 12 – медальоны; 13 – карьеры; 14 – эрозионные уступы; 15 – абразионные уступы; 16 – тектонические разрывы, предопределяющие линейное расположение элементов рельефа; 17 – геоморфологические границы

К выработанным отнесены структурно-денудационные, денудационно-эрзационные и денудационные поверхности.

Структурно-денудационные поверхности представлены склонами возвышенностей, предопределенные препарировкой интрузивных тел диабазов позднемелового возраста. По своей морфологии эти возвышенности близки к субвулканическим куполам, отличаясь от последних пологовыпуклой вершиной и незначительной эрозией склонов. Абсолютные отметки их вершин колеблются в пределах 210–309 м, а относительные высоты – от 80 до 150 м.

К денудационно-эрзационным поверхностям отнесены склоны речных долин. В зависимости от преобладания тех или иных денудационных процессов, литологического состава пород, тектонических движений и климата, формировались склоны различного характера. Долины основных рек района (Тигиль, Напана, Рассошина, Аманина) на значительных отрезках ограничены крутыми, задернованными или обнаженными, эрозионными уступами высотой до нескольких десятков метров. В этих случаях долины имеют ящикообразный поперечный профиль. Наряду с этим, имеются участки с пологими (до 20°) и средней крутизны (20–30°) склонами.

Склоны небольших рек и ручьев преимущественно пологие, постепенно переходящие в водораздельные пространства. Эрозионные уступы встречаются здесь реже. В верховьях мелкие ручьи иногда переходят в ложбинообразные понижения.

Склоны речных долин обычно слабо залесены или покрыты кустарниковой растительностью. На пологих склонах нередко наблюдаются процессы заболачивания и торфообразования, которые наиболее характерны для склонов северных экспозиций.

Денудационной является холмисто-увалистая поверхность выравнивания плиоцен-верхнеплейстоценового возраста, занимающая основную часть территории. Она развита на образованиях мелового, палеогенового и неогенового возраста. Этот рельеф приурочен к низким пологим водораздельным пространствам. Для него характерно наличие холмов и увалов, ориентированных параллельно долинам мелких водотоков. Размеры их весьма различны в плане и достигают 3–5 км в длину при ширине до 1–2 км. Вершины положительных форм рельефа слабовыпуклые, имеют плавные очертания и пологие (до 5–10°) склоны. Часто холмы и увалы, соединяясь между собой подножиями, образуют низкие слаженные гряды с перепадом высот до нескольких десятков метров. Абсолютные высоты водораздельных гряд возрастают в юго-восточном направлении, по мере удаления

от берега Охотского моря, от 80–100 до 300–350 м. Относительные превышения водоразделов над днищами долин также возрастают в юго-восточном направлении и достигают 200–250 м. Вершины положительных форм рельефа обычно залесены, а понижения между ними заболочены.

На северо-западе поверхность выравнивания на отрезке в 8 км ограничивается берегом Охотского моря. Береговая линия выражена обрывистым абразионным уступом высотой до 30–60 м, сложенным породами кавранской серии. Полоса осушки узкая (до 20–50 м), песчаная.

На обширных пространствах пологих склонов водоразделов и в депрессионных понижениях, особенно на субстрате глинистых пород ковачинской серии, широко развиты кочкарниковые торфяные болота с характерными микроформами рельефа – буграми вспучивания и воронками проседания. Высота бугров мерзлотного пучения достигает 3–4 м при диаметре основания до 10–15 м. Просадочные воронки часто заняты неглубокими (до 1–2 м) озерами различных размеров. На участках развития туфогенно-осадочных пород какертской и реже – гакхинской свит развиты медальонные тундры. Кроме того, на плоскости выравнивания встречаются отпрепарированные дайки, представленные вытянутыми до 3 км гривками, высотой до 30 м. В северной части территории, в междуречье Тигиля – Аманиной, имеет место препарировка тектонических структур. Обратным рельефом выделяется южная периклиналь Гаванской антиклинальной структуры, сложенная песчано-глинистыми породами ковачинской серии. Обрамляют структуру породы ваямпольской серии, более стойкие к процессам денудации и дающие положительный рельеф. В междуречье Кипины – Аманиной положительным рельефом выделяется ядро Кипинской синклинали, сложенное образованиями этолонской свиты. Структура оконтуривается по расположению долин мелких водотоков и холмисто-увалистых гряд.

К следующей генетической группе отнесены аккумулативные поверхности рельефа, созданные речной аккумуляцией и водно-ледниковыми потоками.

Речной деятельностью образованы поверхности пойм, I и II надпойменных террас.

Пойма развита по долинам всех рек. Как правило, это ровная, залесенная, часто заболоченная поверхность, изрезанная протоками и старицами. Высота поймы колеблется от 0,5 до 2 м.

I надпойменная терраса голоценового возраста развита в долинах рек Тигиля, Напаны, Рассошины и Аманиной. Поверхность террасы плоская, тыловой шов четкий, граница с поймой обычно

нерезкая. Высота террасы колеблется от 3 до 5 м, а ширина – от десятков метров до 3–4 км. Часто ее поверхность изрезана дугообразными заболоченными ложбинами, в которых встречаются старицкие озера.

Поверхность II надпойменной террасы уровня 8–12 м верхнеплейстоценового возраста прослеживается в долинах наиболее крупных рек: Тигиля, Напаны, Аманиной, Рассошины и Черной. Поверхность террасы ровная или слегка волнистая, с пологим уклоном в сторону русла. Тыловой шов четкий и выражен ступенчатым перегибом склонов долин. Бровка ограничена крутым уступом в сторону I надпойменной террасы, поймы или русла. Ширина террасы зависит от мощности водотоков и колеблется от первых сотен метров до 2–2,5 км.

Пологовскохолмленная флювиогляциальная равнина первой стадии верхнеплейстоценового оледенения Камчатки занимает обширные пространства низких водоразделов и пологих склонов в восточной части территории. Водно-ледниковые равнины на водораздельных пространствах уплощенные, с пологим уклоном в сторону долин крупных рек. У подножий склонов они расчленены долинами более мелких водотоков и ложбинами стока. Характер микрорельефа на отдельных участках равнины зависит от состава водоно-ледниковых образований. В местах развития существенно песчаных отложений наблюдаются сухие поверхности с мелкобугристым микрорельефом. При наличии в отложениях значительных глинистых прослоев на флювиогляциальных равнинах образуются обширные заболоченные участки с буграми мерзлотного пучения и воронками проседания.

В плиоцене район полностью освободился от мелководного моря и вступил в существенно континентальную fazu своего развития. На фоне медленного орогенического поднятия, сопровождавшегося внедрением субвуликанических тел, зарождаются основные очертания современного рельефа. Преобладающим видом денудации являлся плоскостной смык. Вплоть до верхнего плеистоцена формируется холмисто-увалистая поверхность выравнивания, осуществляется препарировка магматических тел.

Первая стадия верхнеплейстоценового оледенения сопровождалась выносом в предгорья Срединного хребта огромных масс обломочного материала. Водно-ледниковыми потоками он переотлагался на низких водораздельных пространствах и в ложбинообразных понижениях в восточной части района.

Между двумя стадиями верхнеплейстоценового оледенения активизировалась эрозионная и аккумулятивная деятельность водных артерий. В это время зарождаются долины основных рек и формируют-

ся поверхность II надпойменной террасы. Причем, линейное заложение долины р. Тигиль в пределах описываемой территории предопределено наличием тектонического нарушения северо-западного направления.

Вторая стадия верхнеплейстоценового горно-долинного оледенения описываемый район не охватывала.

В голоцене продолжается боковая и глубинная эрозия, речная аккумуляция с образованием низких пойменных террас. Значительную роль имеют процессы торфообразования, обусловленные избыточным переувлажнением при умеренном климате района.

## ПОЛЕЗНЫЕ ИСКОПАЕМЫЕ

На рассматриваемой площади разведаны месторождения каменного угля, строительных материалов, выявлены проявления каменных и бурых углей, ртути, герmania, золота. Район также является перспективным в отношении поисков месторождений нефти и газа.

### ГОРОЧИЕ ИСКОПАЕМЫЕ

#### Нефтегазоносность

Изученная территория расположена в пределах Охотско-Западно-Камчатского, возможно, нефтегазоносного бассейна /4/.

На площади развита мощная толща осадочных образований мелового, палеогенового и неогенового возраста, обладающих рядом особенностей, которые позволяют считать их нефтегазоперспективными.

Люминесцентно-битуминологический анализ показал наличие битумов от 0,000156 до 0,08% в образцах пород, отобранных из всех стратиграфических единиц. Преобладающее большинство образцов тигильской и ковачинской серий обладают повышенной битуминозностью: от 0,005 до 0,008% на экстрагируемую породу. Содержания битумов в пределах 0,01–0,02% установлены в отдельных образцах, отобранных из отложений майначской свиты и ваямпольской серии. Пониженное количество битумов (0,000156–0,005%) характерно для пород ирунейской свиты и кавранской серии.

Специальное изучение коллекторских свойств пород палеогенового возраста, проведенное Л.В. Демидович (18), показало, что пористость алевролитов колеблется от 4,27 до 11,11%, проницаемость от 0,02 до 0,36 мД. Пористость песчаников составляет 2,69–22,79%, проницаемость 0,009–27 мД. Средняя суммарная трещин-

ная проницаемость составляет 30–50 мд. Анализ имеющихся данных показывает, что в разрезе палеогеновых отложений имеются горизонты – коллекторы смешанного типа, обладающие высокой емкостью и достаточной проницаемостью, обеспечивающие возможность получения из них притоков нефти и газа.

Прямые признаки нефтегазоносности разных частей разреза получены в последние годы при бурении и испытании структурных и глубоких параметрических скважин на сопредельных территориях. Из меловых отложений в Ичинском районе при испытании глубокой параметрической скв. I на Лиманской площади в интервале глубин 2070–2108 м получен приток газоконденсата дебитом II тыс. м<sup>3</sup>/сут. На Гавансской структуре, южная периклиналь которой располагается в северной части описываемой территории, при испытании структурной скважины 38 из палеогеновых отложений получен приток (до 7 м<sup>3</sup>/сут.) фильтрата с растворенным углеводородным газом, а в керне отмечались выпоты битуминозного вещества /24/. Из палеогеновых отложений, вскрытых структурной скважиной 4 на Рассошинской площади (Баямпольская антиклинальная зона), получен приток углеводородного газа дебитом около 70 тыс. м<sup>3</sup>/сут.

Приведенные выше данные позволяют считать меловые и палеогеновые отложения района нефтегазоперспективными, а в выявленных антиклинальных структурах (Байдарской, Средне-Аманинской, Тельзевской, Круглогорской), сложенных этими образованиями, можно ожидать наличие промышленных скоплений нефти и газа.

#### Твердые горючие ископаемые

##### Каменный уголь

В центральной части района, в междуречье Тигиль – Напана, располагается каменноугольный бассейн, в пределах которого разведано Тигильское месторождение. В геологическом строении площади принимают участие осадочные отложения палеогенового возраста, несогласно залегающие на верхнемеловых образованиях. Основная промышленная угленосность связана с отложениями напанской свиты (нижний эоцен). Единичные линзовидные пласты и прослои углей встречаются в снатольской свите и маломощные прослои в хулгунской.

Первые геологописковые работы на уголь проводил в 1934–1935 гг. Н.Г. Туганов /50/. Геологоразведочные на площади в 5 км<sup>2</sup> и поисково-съемочные (244 км<sup>2</sup>) выполнены в 1951–1954 гг. под руководством П.С. Евсюкова /20/.

На разведенном Тигильском месторождении (П-2, I) в отложениях напанской свиты выявлено 19 пластов и прослоев угля. Промышленное значение имеют только четыре пласта – А, Б, Д и Йжный. В подсчет запасов включен также высокозольный пласт В. Пласт А залегает в верхней части разреза напанской свиты, пласт Б расположен в 12–15 м стратиграфически ниже пласта А, пласт В – в 13–14 м ниже пласта Б и пласт Д – в 70 м ниже пласта Б. Угольный пласт Йжный расположен южнее основного разведочного участка (П-2, 3) и стратиграфически сопоставляется с пластом А /20/. Все угольные пласти имеют сложное строение и не выдержанную мощность по простирианию, которая на отдельных участках переходит в нерабочую. Максимальная мощность составляет: пласта А – 2,95 м, пласта Б – 2,73 м, пласта В – 2,2 м, пласта Д – 2,8 м и Йжного – 2,8 м.

Основное место в строении пластов принадлежит линзовидно-полосчатым углям, представленным чередующимися линзами блестящего чистого угля с линзами загрязненных. Более загрязнен минеральными примесями слоистый уголь, представленный чередующимися прослойями и линзами блестящего угля с прослойями углистых аргиллитов. Менее распространены в пластах линзы мощностью до 1 м, сложенные чистыми блестящими углями. Как на Тигильском месторождении, так и на известных проявлениях выделяются следующие разновидности углей: блестящий (витрен), полублестящий (клярен), полублестящий линзовидно-полосчатый, полуматовый тонкослоистый, загрязненный, матовый тонкослоистый и линзовидно-полосчатый, сильно загрязненный. Последний связан постепенным переходом с углистыми аргиллитами.

В нижеследующей таблице 2 приведены усредненные результаты лабораторных исследований общих пластовых проб (породные прослои мощностью более 5 см из проб исключались) /20/.

Таблица 2

Пласт	W <sup>a</sup> ,%	A <sup>c</sup> ,%	V <sup>b</sup> ,%	S общ.,%	Q <sup>c</sup> , ккал	Q <sup>d</sup> , ккал
А	4,29	33,08	45,65	0,07–0,56	3693–6012	7057–8771
Б	4,14	40,83	45,25	0,02–0,87	3440–5600	6934–7806
В	4,85	51,06	46,29	0,08–0,19	–	–
Д	2,79	43,83	47,39	0,18–0,31	5145–5324	7355–7530
Йжный	5,69	31,61	43,22	0,09–0,29	4014–5188	7139–7632

По результатам лабораторных исследований угли Тигильского месторождения относятся к высокоуглефицированным марки "Г".

Подсчет запасов на детально разведенном участке произведен до абсолютной глубины 300 м для пластов А, Б, В, Д и до 120 м для пласта Йжный. По пластам А, Б и Йжному подсчитаны балансовые запасы по кат. В+С<sub>1</sub> в количестве 5804,9 тыс.т, из которых 297,1 тыс.т пригодны для открытой отработки. Запасы, подсчитанные по пластам В и Д по кат. С<sub>1</sub> в количестве 1083,1 тыс.т, отнесены к забалансовым в связи с их высокой зольностью.

Поисково-съемочными работами к югу от разведочного участка изучен для выходов каменных углей /20/. Углопроявление в верховье р.Подземной (П-3,3) представлено пятью пластами, мощность которых составляет 1,49; 1,52; 2,2; 2,38 и 1,79 м. На правом берегу долины р.Напаны (П-2,4) вскрыт пласт угля мощностью 2,03 м, а юго-западнее изучены (П-2,6) два пласта мощностью 1,27 и 4 м. На правобережье р.Рассошины (П-2,9) описаны четыре пласта, мощность которых составляет 0,88, 1,76, 3,71 и 4,44 м. П.Г.Туганов /50/ изучал угли по р.Напане. Им описаны два пласта (Ш-2,1), имеющих мощность 0,64 и 1,6 м, три пласта (Ш-1,1) мощностью 1,5; 1,54; 2,2 м и два пласта (Ш-1,2) рабочей мощностью 0,65 и 1,15 м.

Общие геологические запасы каменных углей на всей площади распространения угленосных отложений наланской свиты составляют 650 млн.т. В настоящее время открытым способом добывается уголь в небольшом количестве для предприятий районного центра - с.Тигиль.

### Бурый уголь

Проявления бурого угля в районе связаны с верхнемиоценовыми отложениями эрмановской свиты. Уголь в разрезе свиты залегает в виде сложно построенных пластов с непостоянной мощностью. Угли матовые, полуматовые, с маломощными линзами полублестящих, слоистые, буровато-черные.

В северо-западной части площади в береговом обрыве р.Кульки (I-2,1) залегает пласт бурого угля мощностью 2,5 м. В среднем течении р.Черной (I-1,1) вскрыт пласт мощностью 1,5 м. Техническим анализом получены следующие данные: w<sup>a</sup> - 20,5%, A<sup>c</sup> - 40,66%, v<sup>c</sup> - 36,3%, v<sup>2</sup> - 61,17%, s общ. - 0,81%, Q<sub>0</sub><sup>a</sup> - 2936 ккал, Q<sub>0</sub><sup>r</sup> - 6189 ккал, С - 30,54% /48/. В верхнем течении р.Черной (П-1,1) неполная мощность пласта составляет 8 м. Технологический анализ показал следующие результаты: w<sup>a</sup> - 9,08%, A<sup>c</sup> - 27,43%, v<sup>a</sup> - 46,81%, v<sup>r</sup> - 64,5% /10/. Теплотворная способность не опре-

делялась. В юго-восточной части площади мощность пластов бурых углей составляет: 0,6 м (Ш-4-1), 1,1 м (П-4-1), 4,5 м (П-4-2), 12,7 м (П-4-3), 1,5 м (П-4-4). Технический анализ семи бороздовых проб дал следующие результаты: w<sup>a</sup> - 8,18-10,39%, v<sup>a</sup> - 32,55-45,26%, A<sup>a</sup> - 8,5-39,65%, s общ. - 0,38-0,80%. Теплотворная способность не определялась. В настоящее время бурые угли не разрабатываются.

### Торф

Залежи торфа занимают большие площади в долинах крупных рек и на обширных выровненных водораздельных пространствах. Мощность торфяного покрова достигает 3-4 м. Торф темно-бурий, среднеразложившийся, травяно-кустарниковый и осоково-низинный. Результаты анализов двух проб, отобранных с глубины 0,4-0,5 м и 0,8-1,0 м, следующие: w<sup>a</sup> - 8,53-9,59%, A<sup>a</sup> - 28,03-27,44%, Q<sub>0</sub><sup>a</sup> - 3356-3448 ккал, Q<sub>0</sub><sup>r</sup> - 3342-3464 ккал, Q<sub>0</sub><sup>c</sup> - 3654-3832 ккал, Q - 5268-5501 ккал /48/. Запасы торфа на площади весьма значительны, и он может быть использован в качестве топлива и удобрения.

### МЕТАЛЛИЧЕСКИЕ ИСКОПАЕМЫЕ

#### Редкие металлы и рассеянные элементы

### Ртуть

На площади установлено два коренных рудопроявления ртути и четыре шлиховых ореола киновари.

Первое рудопроявление (П-2,7) расположено на правобережье р.Напаны, в 5 км к востоку от с.Седанка Кочевая. Оно приурочено к зоне брекчированных, гидротермально-измененных верхнемеловых пород майначской свиты. Впервые шлиховой ореол с повышенным знаковым содержанием киновари установил П.С.Евсюков /20/. Специализированные работы на ртуть проводили В.В.Махов /29/ и Н.Т.Демидов /17/. Первым была установлена незначительная ртутная минерализация. Спектральный анализ бороздовых и металлометрических проб показал содержание ртути 0,001-0,03%, а химический анализ двух бороздовых проб - 0,004%. Н.Т.Демидов зону брекчированных, осветленных и в различной степени каолинизированных пород, мощностью 8-10 м, проследил канавами

на расстоянии около 200 м. В отдельных обломках песчаников наблюдалась киноварь в виде тонких корочек и мелкорассеянной вкрапленности по микротрещинам, с размером зерен до 0,5 мм. Спектральный и химический анализы бороздовых и штуфных проб показали содержание ртути в пределах 0,001-0,05%. И только в одной штуфной пробе содержание ртути составляло 1%.

Второе рудопроявление ртути (IY-2,2) находится в истоках р.Каньгиваямпиль, в пределах субвуликанического массива трахиандезитов плиоценового возраста. При изучении массива была установлена зона тектонического нарушения субширотного простирания, к которой приурочены наиболее высокие концентрации киновари в шлиховых пробах. Центральная часть зоны мощностью 3,5 м представлена вязкими каолинизированными глинами пестрой окраски с обломками осветленных трахиандезитов. Зальбанды мощностью около 1,5 м представлены осветленными, интенсивно дроблеными трахиандезитами. Химическим анализом из пяти отобранных бороздовых проб ртуть установлена в двух. В одной пробе содержание ртути составляет 0,1%, во второй - 0,05% /26/.

По результатам шлихового опробования гидросети на площади выделены четыре ореола рассеяния киновари. Первый, наиболее обширный ореол охватывает междуречье Тигиль - Напана (П-2,2). Во многих шлиховых пробах киноварь содержится в единичных знаках и лишь вблизи коренного рудопроявления (П-2,7) установлены весовые (до 10 г/м<sup>3</sup>) концентрации. Источниками сноса киновари являются зоны дробления и гидротермального изменения пород майначской и ирунейской свит. Второй шлиховой ореол рассеяния киновари (IY-2,1) охватывает бассейн р.Каньгиваямпиль. Повышенные концентрации киновари (до 1 г/м<sup>3</sup>) установлены в истоках реки, вблизи выхода коренного рудопроявления (IY-2,2), которое и является источником сноса. Третий шлиховой ореол, вытянутый к востоку от бассейна р.Шадрина (П-4,1), характеризуется знаковым содержанием киновари в шлихах. Максимальное ее количество составляет 25 знаков на ендовку. Вероятно, источником сноса киновари здесь являются приконтактово-измененные породы небольшой мощности, развитые вокруг плиоценовых субвуликанических тел щелочных базальтоидов. Четвертый, небольшой по площади, шлиховой ореол знакового содержания киновари охватывает бассейн р.Изменной (Ш-3,1). В отдельных шлиховых пробах содержание киновари достигает 55 знаков на ендовку. Вероятным источником сноса являются невскрытые эрозией гидротермально-измененные породы ирунейской свиты.

## Германий

Проявления герmania в районе связаны с каменными и бурыми углами. Спектральным анализом из 272 бороздовых проб каменных углей германий установлен в 55. В 53 пробах содержание его составляет 5-50 г/т золы и в двух пробах отмечено повышенное содержание до 1000 г/т (П-2,9). Из 80 бороздовых проб бурых углей в 19 установлено содержание герmania от 5 до 50 г/т и в двух - до 1000 г/т (IY-4,2; IY-4,4).

## Благородные металлы

### Золото

В пределах площади выявлено одно рудопроявление золота, которое расположено в верховьях руч.Промежуточного, правого притока р.Напаны, в 2,5 км восточнее с.Седанка Кочевая (П-2,5). На этом участке развиты песчаники, алевролиты и аргиллиты майначской свиты (верхний турон-нижний сенон). В шурфе, пройденном на правобережье р.Промежуточного и вскрывшем дробленые, обожженные, частично осветленные и каолинизированные песчаники майначской свиты, не содержащие видимой рудной минерализации, была отобрана точечная проба. Спектральный анализ этой пробы показал содержание (г/т) золота - 0,15, а пробирный - 0,1 золота и 1,6 - серебра. В 250 м вниз по ручью, в русле, было обнаружено несколько обломков брекчированных, осветленных прокварцованных пород майначской свиты и обломок, размером 30x20x15 см, сахаровидного кварца. В этих обломках содержались редкие, мелкие (до 1,5 мм) вкрапления галенита, сфалерита и пирита.

В пробе, отобранный из глыбы кварца, спектральный анализ показал содержание 10 г/т золота и 2 г/т серебра, а пробирный - 14,6 г/т золота и 9,2 г/т серебра. В пробе из брекчированных пород спектральным анализом установлено 0,5 г/т золота, а пробирным - 0,2 г/т золота и 0,9 г/т серебра.

Невысокие содержания золота были установлены в пробах, отобранных у подножия г.Красной и на правом берегу р.Аманиной.

У подножия г.Красной, расположенной в с.Тигиль, вскрыта зона разлома мощностью около 30 м. Она представлена интенсивно дроблеными, перемятыми, гидротермально-измененными трахибазальтами, слагающими г.Красную, и аргиллитами ковачинской серии. В обломках брекчированных пород наблюдается неравномерная прожил-

ковая и гнездообразная кварцевая, карбонатная и кварц-карбонатная минерализация. Из отобранных 55 проб только в 4 спектральным анализом установлено содержание золота в количестве 0,01-1,5 г/т, а пробирным - следы золота и 1-1,1 г/т серебра.

На правом берегу р.Аманиной, в 5 км к северу от г.Тыльвзес, в одной пробе, отобранной из приконтактовой зоны субвуликанического тела абсарокитов с осадочными породами такхинской свиты, спектральным анализом установлено 0,7 г/т золота и 0,1 г/т серебра, пробирным - следы золота и 1,4 г/т серебра. Кроме того, здесь же следы золота обнаружены спектральным анализом в трех литохимических пробах.

Шлиховых ореолов рассеяния золота на площади не установлено.

#### НЕМЕТАЛЛИЧЕСКИЕ ИСКОПАЕМЫЕ

На территории листа установлены опоковидные породы, строительный камень, глина, песчано-гравийная смесь и песок.

#### А б р а з и в н ы е м а т е р и а л ы

##### Опоковидные породы

Горизонты опоковидных пород присутствуют в разрезе тuffогенно-осадочных образований гакхинской и вивентекской свит. Они детально изучены на участке Центральном (П-3,2), в 5 км к северо-востоку от с.Тигиль. Запасы по кат. С<sub>2</sub> составляют 5080·тыс.м<sup>3</sup>/41/. Лабораторными исследованиями установлено, что в размолотом состоянии они могут использоваться в качестве легкого заполнителя бетона марки "600". Кроме того, они пригодны для приготовления шпаклевки под различные виды красок.

#### СТРОИТЕЛЬНЫЕ ОГНЕУПОРНЫЕ МАТЕРИАЛЫ

##### И з в е р ж е н н ы е п о р о д ы

##### Строительный камень

В качестве строительного камня могут использоваться магматические породы, слагающие крупный субвуликанический массив трахиандезитов в верховьях руч.Каньгиваямпиль, массивы базальтов в среднем течении р.Тигиль, а также более мелкие субвуликанические тела и интрузии. На описываемой территории детально изучен:

месторождение строительного камня (диабазов) (П-3,4) в районе г.Хазаланка /41/. Запасы камня по кат. С<sub>2</sub> оцениваются в 11497,9 м<sup>3</sup>. Он пригоден в качестве щебня для приготовления низкомарочных наземных бетонов и дорожного покрытия.

#### Г л и н и с т ы е п о р о д ы

##### Глина

На отложениях ковачинской серии, которые имеют значительное площадное распространение, развиты элювиальные глины мощностью до 2 м. Глина синевато-серого цвета, плотная, пластичная, иногда с незначительной примесью песка и мелкой гальки. После предварительной обработки глины пригодны для приготовления буро-ватых растворов.

#### О б л о м о ч н ы е п о р о д ы

##### Песчано-гравийная смесь

Песчано-гравийные и гравийно-галечные аллювиальные отложения развиты в долинах всех крупных водотоков, где слагают поймы и надпойменные террасы. Запасы их практически не ограничены.

На площади листа разведано месторождение песчано-гравийной смеси "Яры" (I-3,I). Оно приурочено к верхнечетвертичным аллювиальным отложениям, слагающим II надпойменную террасу р.Тигиль. По физико-механическим свойствам песчано-гравийная смесь месторождения отвечает всем требованиям для наземных строительных работ. Испытаниями смеси в бетоне установлена ее пригодность для получения бетонов марки "300-350". Кроме этого, она пригодна для дорожных покрытий. Запасы месторождения "Яры" по категориям В+С<sub>1</sub> составляют 469,4 тыс.м<sup>3</sup>/40/.

##### Песок

В восточной части площади широко развиты пески аллювиального и водно-ледникового генезиса, мощность которых достигает 10 м. Детально разведенное месторождение "Мезенцево" (П-3,I) приурочено к верхнечетвертичным отложениям, слагающим вторую надпойменную террасу р.Тигиль /40/. Оно расположено в 7 км к северо-западу от с.Тигиль. Пески полимиктовые, мелкозернистые, модуль крупности которых составляет 1,05. Лабораторными испыта-

ниями установлена их пригодность для получения цементных растворов марки "50-100". Заласы песка по кат. В+С<sub>1</sub> составляют 2473,5 тыс.м<sup>3</sup>.

### ПОДЕЛОЧНЫЕ КАМНИ

Проявления поделочных камней установлены в центральной части района (П-2,8,10). Они приурочены к вулканогенно-кремнистым образованиям ирунайской свиты, в разрезе которых присутствуют слои кремнистых сланцев и яшм пестрой окраски - ярко-зеленой, кирпично-красной, коричневой. Иногда они содержат обломки призматических слоев иноцерамов и пронизаны маломощными кварц-карбонатными прожилками, которые придают породам сетчатый узор. Мощность отдельных слоев колеблется от первых десятков сантиметров до 3-4 м. В большинстве случаев кремни и яшмы интенсивно трещиноваты, в связи с чем могут использоваться для изготовления мелких поделок.

### ПОДЗЕМНЫЕ ВОДЫ

На описываемой территории развита густая гидрографическая сеть. Поверхностные воды обильны, хорошего качества и вполне удовлетворяют потребности водоснабжения района. В связи с этим подземные воды в настоящее время большого практического значения не имеют.

Водоносность отдельных горизонтов определяется различным литологическим составом и физическими свойствами пород, а также геоморфологическими и климатическими условиями района. Питание их осуществляется путем инфильтрации атмосферных осадков и подтока вод из сопредельных водоносных горизонтов.

Торфяно-болотные отложения занимают значительные площади по долинам крупных рек и на пологих водоразделах. Они представлены торфниками с линзовидными прослоями глин и песков. Торфяно-болотные отложения обладают большой влагоемкостью и низкой водосдачей, вследствие чего источники из них редки и приурочены, как правило, к уступам эрозионных врезов. Дебит их не превышает 0,1-0,2 л/с. Воды мутные, желтовато-бурые, с болотным запахом. По химическому составу они хлоридно-гидрокарбонатные, иногда сульфатно-гидрокарбонатные магниево-кальциево-натриевые, с повышенным содержанием железа. Общая минерализация колеблется от 58 до 333 мг/л, pH=3-5,8.

Аллювиальные отложения слагают поймы и надпойменные террасы рек. Благоприятными коллекторами для накопления подземных вод являются галечники и пески, а водоупорами служат прослои глин и коренные породы, слагающие цоколь террас. По характеру циркуляции воды поровые, безнапорные. Выходы источников приурочены к основаниям уступов террас. Дебит их колеблется от 0,5 до 2 л/с. Воды по химическому составу хлоридно-гидрокарбонатные натриево-магниевые с минерализацией до 120 мг/л, pH=5,6-6,7.

Элювиально-делювиальные отложения, представленные крупноглыбовым материалом, щебенкой, песками и супесью, обводнены в нижних частях склонов и на плоских водоразделах. По условиям циркуляции воды поровые, безнапорные. Разгрузка водоносного горизонта происходит на границе элювиально-делювиальных отложений и коренных пород у подножий склонов. Источники нисходящие, распределенные, с дебитом от 0,1 до 2 л/с. По химическому составу воды хлоридно-гидрокарбонатные со смешанным катионным составом. Общая минерализация колеблется от 43 до 113 мг/л.

Водно-ледниковые отложения сложены песками и галечниками с линзовидными прослоями глин. Водоносными являются пески и галечники. По условиям циркуляции воды поровые, безнапорные. Выходы нисходящих источников с дебитом до 2 л/с приурочены к склонам долин на границе водно-ледниковых отложений и коренных пород.

Осадочные образования кавранской серии представлены конгломератами, гравелитами, песчаниками, алевролитами, аргиллитами, туфами, туффитами и бурыми углами. Содержащиеся в разрезе серии слои глинистых пород служат водоупорами, а более грубые разности являются водоносными. По характеру циркуляции воды этих отложений пластово-трещинные и пластово-поровые, безнапорные. Выходы источников наблюдаются у оснований склонов. Дебиты их колеблются от 0,5 до 2 л/с, а иногда достигают 15 л/с. Воды по составу гидрокарбонатно-хлоридные кальциево-натриевые и магниево-кальциевые с общей минерализацией 109-113 мг/л. Общая жесткость не превышает 0,7 мг·экв/л, pH=6,3-6,5.

Отложения ваямпольской серии представлены туфоаргиллитами, туфоалевролитами, туфопесчаниками, туффитами и опоковидно-кремнистыми породами. Породы слабопористые, интенсивно трещиноватые, что обуславливает циркуляцию в них пластово-трещинных и трещинных, безнапорных вод. Источники приурочены к подножиям склонов долин, холмов и гряд. Часто рассредоточенные источники наблюдаются на границе образований ваямпольской и ковачинской серий.

Дебит отдельных источников колеблется от 0,5 до 2 л/с. Воды по химическому составу хлоридно-гидрокарбонатные и гидрокарбонатно-сульфатные натриево-кальциевые с минерализацией 98–109 мг/л. Общая жесткость колеблется от 0,2 до 0,6 мг·экв/л, pH=5,8–7,2.

В отложениях ковачинской и тигильской серий водоносными являются конгломераты, гравелиты и песчаники. Водоупорами служат прослои аргиллитов и алевролитов. По условиям циркуляции воды пластово-поровые и пластово-трещинные, безнапорные. Выходы нисходящих источников приурочены к основаниям склонов и глубоким эрозионным врезам. Дебиты их не превышают 0,5–1 л/с. По химическому составу воды из зоны свободного водообмена хлоридно-гидрокарбонатные магниево-кальциевые с минерализацией 58 мг/л.

С глубиной химический состав вод изменяется, о чем свидетельствуют результаты испытаний структурной скважины, пробуренной на Гаванской антиклинальной структуре в 1,5 км от северной границы листа. Воды из отложений снатольской свиты тигильской серии в интервале 320–840 м по химическому составу хлоридно-гидрокарбонатные кальциево-натриевые, со слабой щелочной реакцией (pH=8). Общая минерализация достигает 10 г/л, а дебит, полученный при испытании отдельных водоносных горизонтов, колеблется от 0,5 до 7 м<sup>3</sup>/сут. /24/.

Верхнемеловые отложения ирунейской и майначской свит представлены песчаниками, алевролитами, аргиллитами, туфами и кремнистыми сланцами. Породы слабопористые, трещиноватые, что обуславливает циркуляцию в них безнапорных трещинных и пластово-трещинных вод. Разгрузка подземных вод происходит у оснований склонов и глубоких эрозионных врезов. Дебит источников не превышает 0,5–1 л/с. По химическому составу воды гидрокарбонатно-сульфатные, кальциево-магниевые и кальциево-натриевые. Общая минерализация колеблется от 49 до 215 мг/л, жесткость – от 0,38 до 3,31 мг·экв/л, pH=6,1–8,2.

Магматические породы, слагающие различные по составу и возрасту субвулканические тела и интрузии, разбиты множеством трещин, проникающих на значительную глубину. Наличие таких трещин, а также морфология и небольшие размеры большинства магматических тел ограничивает число выходов подземных вод. Выходы источников наблюдаются, как правило, у подножий склонов наиболее крупных тел. Дебит их не превышает 1 л/с. Воды по химическому составу гидрокарбонатно-хлоридные кальциево-магниевые с минерализацией 105 мг/л. Общая жесткость составляет 1,39 мг·экв/л, pH=7,3.

Пригодными для питья и технических целей являются воды всех водоносных горизонтов, за исключением вод торфяно-болотных отложений.

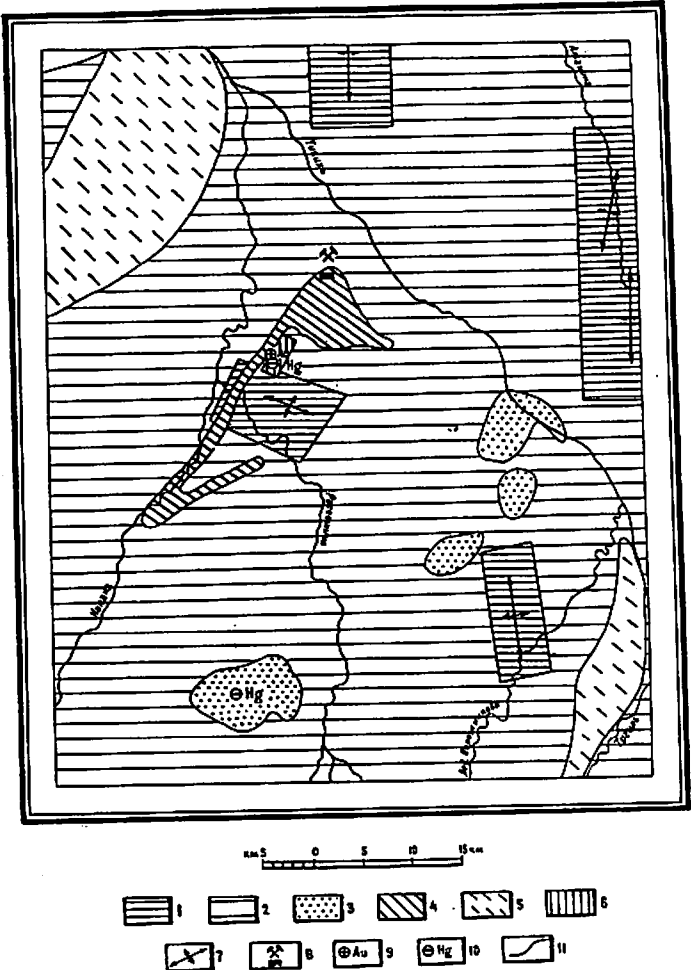
## ОЦЕНКА ПЕРСПЕКТИВ РАЙОНА

На территории листа выделены площади с различными перспективами на горючие и рудные полезные ископаемые (рис.5).

В отношении нефтегазоносности выделены площади с возможной нефтегазоносностью, с невыясненными перспективами и бесперспективные. К возможно нефтегазоносным отнесены площади антиклинальных структур (Байдарская, Средне-Аманлинская, Тыльзевская, Круглогорская), сложенных осадочными образованиями верхнего мела и палеогена. Перспективность на нефть и газ отложений, слагающих эти антиклинали, установлена на смежных площадях. В разрезах этих отложений имеются горизонты с удовлетворительными коллекторскими свойствами. Все это позволяет считать выявленные антиклинальные структуры нефтегазоперспективными и рекомендовать их к дальнейшему изучению. На этих структурах необходимо провести комплекс детальных исследований, включающий сейсморазведочные и электроразведочные работы, структурное бурение. Результаты этих работ дадут основание для заложения первых глубоких параметрических скважин. Площади невыясненных перспектив на нефть и газ занимают большую часть территории листа, сложенную осадочными отложениями мелового, палеогенового и неогенового возраста. При более детальных работах на этих площадях могут быть выявлены стратиграфические и тектонически экранированные ловушки, а также пологие антиклинальные структуры в пределах синклинальных зон. Постановка работ на этих площадях будет зависеть от результатов, полученных при изучении первоочередных объектов. К неперспективным отнесены площади, занятые субвулканическими интрузиями.

Каменноугольный бассейн расположен в центральной части района. В его пределах разведано Тигильское месторождение, запасы которого по кат. В+С<sub>1</sub> составляют 5804,9 тыс.т. Общие геологические запасы бассейна составляют 650 млн.т. В настоящее и в ближайшее будущее время потребности местных организаций в каменном угле вполне удовлетворимы, поэтому проведение дальнейших разведочных работ целесообразно только при условии более интенсивного экономического освоения района.

Буроугольные бассейны выделены на северо-западе и юго-востоке площади. В их пределах установлены пласти бурых углей ра-



1 - площади с возможной нефтегазоносностью; 2 - площади с низкими перспективами нефтегазоносности; 3 - площади, бесперспективные в отношении нефтегазоносности; 4 - площади, перспективные на каменные угли; 5 - площади, перспективные на бурые угли; 6 - площади, перспективные на золото; 7 - оси антиклинальных структур, рекомендованных для детального изучения; 8 - месторождение каменных углей; 9 - рудопроявление золота; 10 - рудопроявления ртути; 11 - границы площадей с различной перспективностью

бочай мощности. Из-за отсутствия потребителя буровых углей постановка поисково-разведочных работ на этот вид сырья в настоящее время нецелесообразна.

Исследованная территория малоперспективна в отношении открытия рудных месторождений, за исключением центральной ее части, где выделена площадь, перспективная на рудное золото. В пределах этого участка обнаружено золото в коренном залегании с содержанием 0,1 г/т, а в одной пробе, отобранный из глыбы кварца, содержание его достигает 14,6 г/т. Золоторудная минерализация приурочена к зонам брекчирования и гидротермального изменения в верхнемеловых породах майначской свиты. На участке рекомендуется проведение поисковых работ с целью выявления, вскрытия и опробования зон измененных пород. Для этого необходимо предусмотреть большой объем горных работ (канав, шурфов), так как участок совершенно не обнажен.

В отношении обнаружения месторождений ртути район является малоперспективным. Это подтверждается результатами специальных работ /17/, относительно небольшими содержаниями киновари в шлихах, а также малыми параметрами рудоносных зон и низким содержанием ртути в пробах.

Запасы строительных материалов на площади значительны. Местные строительные организации обеспечены разведенными запасами на многие годы. Поэтому проведение работ на этот вид сырья в настоящее время считается экономически нецелесообразным.

Возможности обнаружения крупных месторождений поделочных камней, по имеющимся материалам, незначительны.

## ЛИТЕРАТУРА

### Опубликованная

1. Геология СССР. Т. XXI. Курильские и Командорские острова. Недра, 1964.

2. Дьяков Б.Ф. Геологическое строение и нефтеносность Западной Камчатки. Госгеолтехиздат, 1955.

### Фондовая X/

3. Байков А.И. Отчет о работе Северо-Камчатского отряда по обобщению материалов германит- и скандиеносности углей п-ова Камчатки, 1963, № 887.

X/ Работы хранятся в фондах Камчатского ТГУ.

4. Бакланов Э.К. и др. Отчет по теме: Анализ результатов нефтепоисковых работ в Камчатской области с целью подсчета прогнозных запасов нефти и газа. 1975, № 3658.
5. Березин М.А., Иванов В.А. Отчет о работах по обобщению геофизических материалов западного побережья Камчатки. 1969, № 3138.
6. Боровцов А.К. и др. Геологическое строение и полезные ископаемые бассейнов рек Аманина, Ваямполка, Урчывалм. 1974, № 3602.
7. Бражев В.И. Отчет о гравиметрической съемке масштаба 1:200 000, проведенной 2-й Морошечной гравиметрической партией в Тигильском районе Камчатской области летом 1964 г. 1965, № 1690.
8. Бражев В.И. Отчет о гравиметрической съемке масштаба 1:200 000, проведенной Паланской гравиметрической партией в Тигильском районе Камчатской области летом 1965 г. 1966, № 1988.
9. Варфоломеева Н.А. Отчет о результатах сейсморазведочных работ Тигильской сейсморазведочной партии в Тигильском районе п-ова Камчатка за 1970-1971 гг. 1971, № 3296.
10. Вдовенко В.П. Отчет о геологической съемке масштаба 1:200 000, проведенной в юго-западной части листа 0-57-XXI (бассейн рек Тигиля и Напаны) летом 1962 г. 1963, № 890.
11. Вдовенко В.П., Адамчук Г.Л. Государственная геологическая карта СССР масштаба 1:1 000 000, лист 0-57. Недра, 1964, № 1613.
12. Власов Г.М. Отчет о ревизии материалов по угольным месторождениям Камчатки и полевых работах Западно-Камчатской ревизионно-поисковой партии № 283 в 1950 г. 1951, № 284.
13. Вощинский А.А. Отчет о работах Тигильской гравиметрической партии № 42/56-57 в Тигильском районе Камчатской области за 1956-1957 гг. 1958, № 444.
14. Гольдман В.А. Отчет о работах Тигильской гравиметрической № 33/55-56, Тигильской магнитометрической № 50/55-56 и Тигильской геофизической № 51/55-56 партий Камчатской геофизической экспедиции в Тигильском районе Корякского национального округа Камчатской обл. в 1955-1956 гг. 1956, № 380.
15. Гундобин В.М. Отчет по геологосъемочным работам масштаба 1:200 000 на территории листа 0-57-ХХП. 1974, № 3627.
16. Данилевско Н.Ф. Геологическое строение и полезные ископаемые бассейнов рек Быстрой и Белоголовой. 1973, № 3464.
17. Демидов Н.Т. Отчет о геолого-поисковых работах масштаба 1:50 000 на ртуть, проведенных Напанской партией летом 1960 г. 1961, № 637.
18. Демидович Л.В., Григоренко Ю.Н. Коллекторские свойства пород перспективно-нефтеносных третичных отложений Тигильского района западного побережья Камчатки. 1960, № 565.
19. Дьяков Б.Ф. Геология и нефтеносность западного побережья п-ова Камчатка. 1935, № 83.
20. Евсюков П.С. Отчет о геологопоисковых и разведочных работах на Тигильском каменноугольном месторождении, проведенных в 1951-1954 гг. 1955, № 198.
21. Золина Г.П. и др. Отчет о результатах сейсморазведочных работ Приморской сейсморазведочной партии № II/71-72, проведенных в Тигильском районе п-ова Камчатки. 1972, № 3428.
22. Калашникова А.С. и др. Отчет о результатах работ Ваямпольской сейсморазведочной партии № II/72-73 на западном побережье Камчатки (Тигильский р-н). 1973, № 3566.
23. Калашникова А.С. и др. Отчет о работах Восточной № II/74-75 и Кангурской № II/75 сейсморазведочных партий (Западная Камчатка). 1975, № 3838.
24. Калимулин Э.Х. и др. Отчет о результатах структурного бурения на Гаванской площади Тигильского района Камчатской области за 1971-1973 гг. 1975, № 3798.
25. Кленов Е.П. Отчет о геологической съемке масштаба 1:200 000, проведенной в междуречье Тигиль - Аманина летом 1953 г. 1954, № 130.
26. Коваль П.А. и др. Отчет о геологической съемке и геологическом доизучении масштаба 1:200 000 на листе 0-57-XXI, проведенных Тигильской партией в 1975-1976 гг. 1977, № 3995.
27. Маркин Н.М. Геологическое строение, перспективы нефтеносности северной части Тигильского района западного побережья Камчатки и план нефтепоисковых работ. 1958, № 366.
28. Маркин Н.М., Кристофорович Л.В. Стратиграфия тигильской серии Тигильского района западного побережья Камчатки. 1960, № 563.
29. Махов В.В. Отчет о результатах поисковых работ на ртуть масштаба 1:100 000, проведенных отрядом № 625А в 1957 г. в междуречье Тигиль - Напана. 1958, № 1349.

30. Махонина Л.И. Окончательный отчет по геолого-съемочным работам масштаба 1:200 000 на территории листа 0-57-ХХУП. 1968, № 2482.
31. Махонина Л.И. Геологическая карта СССР масштаба 1:200 000, серия Западно-Камчатская, лист 0-57-ХХУП. Недра. 1976, № 3965.
32. Мороз Т.Ф. Геологическая карта СССР масштаба 1:200 000 листа 0-57-ХХVI, серия Западно-Камчатская. Недра. 1965, № 1564.
33. Мороз Ю.Ф. и др. Отчет о результатах работ Паланской электроразведочной партии № 21/70 на западном побережье Камчатки. 1971, № 3195.
34. Мороз Ю.Ф. и др. Отчет о результатах работ Ичинской электроразведочной партии № 21/71 на западном побережье Камчатки. 1972, № 3354.
35. Мороз Ю.Ф. и др. Отчет о результатах работ Кинильской электроразведочной партии № 21/73 на западном побережье Камчатки. 1974, № 3600.
36. Мороз Ю.Ф. и др. Отчет о результатах работ Литкенской электроразведочной партии № 21/75 на Камчатке. 1976, № 3914.
37. Мурахтов Е.А. Отчет о результатах поисковых работ на песчано-гравийную смесь, пески, строительные камни, легкие заполнители бетонов (опоки, диатомиты) в окрестностях пос. Тигиль, Седанка. 1974, № 3607.
38. Плешаков И.Б. Неогеновые отложения западного побережья Камчатки (Тигильский район). 1940, № 213.
39. Поздеев А.И. и др. Объяснительная записка к стратиграфическим схемам палеогеновых и неогеновых отложений Камчатки и южной части Корякского нагорья (материалы Межведомственного регионального стратиграфического совещания по разработке корреляционных и унифицированных схем меловых, палеогеновых и неогеновых отложений Камчатки, Корякского нагорья, Сахалина и Курильских островов 4-7 июня 1974 г., г.Петропавловск-Камчатский). 1975, № 3921.
40. Радченко В.В. и д. Отчет о результатах детальной разведки месторождения песка и песчано-гравийной смеси Яры с подсчетом запасов по состоянию на 1.01.1975 г. 1975, № 3825.
41. Радченко В.В. Отчет о результатах поисковых работ на строительный камень и легкие заполнители, проведенных в окрестностях пос. Тигиль в 1974-1975 гг. 1976, № 3896.
42. Ривош Л.А. Отчет по работам Камчатской аэромагнитной партии за 1959 г. 1960, № 1960.
43. Севостьянов К.М. Отчет по геологической съемке масштаба 1:200 000, проведенной в районе нижнего течения рек Тигиля и Напаны летом 1952 г., 1953, № 132.
44. Севостьянов К.М. Отчет о работе Тигильской геологосъемочной партии № 53 за 1954-1955 гг. и некоторые вопросы геологического строения центральной части Тигильского района. 1955, № 124.
45. Севостьянов К.М. Отчет о геологической съемке масштаба 1:50 000, проведенной на Хромовско-Гаванской площади (западное побережье п-ова Камчатки) летом 1955 г. 1956, № 239.
46. Сингаевский Г.П., Бабушкин Д.А. Геологическая карта СССР масштаба 1:200 000, серия Западно-Камчатская, лист 0-57-ХХ, XIX. Недра, 1971, № 1691.
47. Стурикович Б.В. Геологическое строение и гидрогеологические условия бассейна нижнего течения р. Тигиль, 1958, № 1354.
48. Трошин А.Н. Геологический очерк западного берега п-ова Камчатки (результаты работ Западно-Камчатской горно-поисковой партии АКО). 1929, № 168.
49. Туганов П.Г. Отчет о результатах работ Омгонской геологоразведочной партии ДВГ треста на западном побережье п-ова Камчатки, 1935, № 33.

СПИСОК ПРОМЫШЛЕННЫХ МЕСТОРОЖДЕНИЙ ПОЛЕЗНЫХ ИСКОПАЕМЫХ,  
ПОКАЗАННЫХ НА ЛИСТЕ 0-57-XXI КАРТЫ ПОЛЕЗНЫХ ИСКОПАЕМЫХ  
МАСШТАБА 1:200 000

Индекс клетки на карте	№ на карте	Вид полезного ископаемого	Ссылка на литературу (номер по списку)	Примечание
------------------------	------------	---------------------------	--	------------

ГОРЯЧИЕ ИСКОПАЕМЫЕ

Твердые горячие ископаемые

Каменный уголь				
П-2	I	Тигильское	20,26	
НЕМЕТАЛЛИЧЕСКИЕ ИСКОПАЕМЫЕ				
Аbrasивные материалы				
Олоковидные породы				
П-3	2	Участок Центральный	41,26	
СТРОИТЕЛЬНЫЕ И ОГНЕУПОРНЫЕ МАТЕРИАЛЫ				
Извещенные породы				
Диабазы				
П-3	4	г.Хазаланка	41,26	
Обломочные породы				
Песчано-гравийная смесь				
I-3	I	Яры	40,26	
Песок строительный				
П-3	I	Мезенцево	40,26	

СПИСОК ПРОЯВЛЕНИЙ ПОЛЕЗНЫХ ИСКОПАЕМЫХ, ПОКАЗАННЫХ НА  
ЛИСТЕ 0-57-XXI КАРТЫ ПОЛЕЗНЫХ ИСКОПАЕМЫХ  
МАСШТАБА 1:200 000

Индекс клетки на карте	№ на карте	Вид полезного ископаемого и название (местонахождение) проявления	Ссылка на литературу (номер по списку)	Примечание
I	2	3	4	5

ГОРЮЧИЕ ИСКОПАЕМЫЕ

Твердые горючие ископаемые  
Каменный уголь

П-2	3	р.Половинка	20,26	В коренном залегании
П-2	4	Правобережье р.Напаны	20,26	То же
П-2	6	Правобережье р.Напаны	20,26	"
П-2	9	Правобережье р.Рассошины	20,26,50	"
П-3	3	р.Подземная	20,26	
Ш-1	1	Правобережье р.Напаны	50,26	"
Ш-1	2	Левобережье р.Напаны	50,26	"
Ш-2	1	Правобережье р.Напаны	50,26	"
Бурый уголь				
I-1	I	р.Черная	20,26	В коренном залегании
I-2	I	р.Кульки	20,26	То же
П-1	I	р.Черная	20,26	"
Ш-4	I	Левобережье р.Тигиль	26	"
IY-4	I	Правобережье р.Лев.Ли- рорниковой	26	"
IY-4	2	Левобережье р.Тигиль	26	"
IY-4	3	Левобережье р.Тигиль	26	"
IY-4	4	Левобережье р.Тигиль	26	"

1	2	3	4	5
---	---	---	---	---

МЕТАЛЛИЧЕСКИЕ ИСКОПАЕМЫЕ

Редкие и рассеянные элементы

Ртуть

П-2	7	Правобережье р.Напаны	17,26	В коренном залегании
ИУ-2	2	Верховье р.Каньгиваямпиль	26	То же
П-2	2	Междуречье Тигиля и Напаны	20,17, 26,29	Шлиховой ореол
П-4	I	Бассейн р.Шадрина	26	То же
Ш-3	I	Бассейн р.Изменной	26	"
ИУ-2	I	Бассейн р.Каньгиваямпиль	26,10	"
		Германий		
П-2	9	Правобережье р.Рассошины	26	В коренном залегании
ИУ-4	2	Левобережье р.Тигиль	26	То же
ИУ-4	4	Левобережье р.Тигиль	26	"

В брошюре пронумеровано 89 стр.

Благородные металлы

Золото

П-2	5	Правобережье р.Напаны	26	В коренном залегании
		ПОДЕЛОЧНЫЕ КАМНИ		
П-2	8	руч.Глубокий	26	В коренном залегании

Левобережье р.Рассошины

Редактор Р.Н.Ларченко  
Технический редактор С.К.Леонова  
Корректор И.И.Богданович

Сдано в печать 04.08.82. Подписано к печати 12.06.85.

Тираж 148 экз. Формат 60x90/16 Печ.л.5,75 Заказ 67 с

Центральное специализированное  
производственное хозрасчетное предприятие  
объединения "Совзгеолфонд"